

DEKOLORISASI NIRA TEBU MENGGUNAKAN MEMBRAN NILON/TiO₂

SKRIPSI

Disusun untuk Memenuhi Sebagian Syarat Guna Memperoleh
Gelar Sarjana Sains dalam Ilmu Kimia



Oleh: **INDAH RIFDAH HUWAIDAH**

NIM : 1908036029

**PROGRAM STUDI KIMIA
FAKULTAS SAINS DAN TEKNOLOGI
UNIVERSITAS ISLAM NEGERI WALISONGO
SEMARANG
2023**

DEKOLORISASI NIRA TEBU MENGGUNAKAN MEMBRAN NILON/TiO₂

SKRIPSI

Oleh

INDAH RIFDAH HUWAIDAH

1908036029

**Untuk Memenuhi Syarat Melaksanakan Skripsi
Strata Satu Program Studi Kimia
Fakultas Sains Dan Teknologi
UIN Walisongo Semarang**

**PROGRAM STUDI KIMIA
FAKULTAS SAINS DAN TEKNOLOGI
UNIVERSITAS ISLAM NEGERI WALISONGO
SEMARANG
2023**

PERNYATAAN KEASLIAN

Yang bertanda tangan di bawah ini:

Nama : Indah Rifdah Huwaiddah
NIM : 1908036029
Program Studi : Kimia

Menyatakan bahwa skripsi ini yang berjudul:

DEKOLORISASI NIRA TEBU MENGGUNAKAN MEMBRAN NILON/TiO₂

Secara keseluruhan adalah hasil penelitian atau karya sendiri, kecuali bagian tertentu yang dirujuk sumbernya.

Semarang, 20 September 2023
Pembuat Pernyataan,



Indah Rifdah Huwaiddah
NIM. 1908036029

PENGESAHAN

Naskah Skripsi berikut ini:

Judul : **Dekolorisasi Nira Tebu Menggunakan Membran Nilon/TiO₂**

Penulis : Indah Rifdah Huwaiddah

NIM : 1908036029

Jurusan : Kimia

Telah diajukan dalam sidang munaqasyah oleh Dewan Pengaji Fakultas Sains dan Teknologi UIN Walisongo dan dapat diterima sebagai salah satu syarat memperoleh gelar sarjana dalam Ilmu Kimia.

Semarang, 31 Oktober 2023

DEWAN PENGUJI

Ketua Sidang,

Sekretaris Sidang,

Dr. Hj. Malikhatul Hidayah, M.Pd. Kholidah, M. Sc.
NIP. 19830415 200912 2001 19850811 201903 2008
Pengaji I Pengaji II



Dr. Ervin Tri Suryandari, M.Si. Mulyatin, M.Si
NIP. 19740716 200912 2001 19830504 201101 2008

Dr. Hj. Malikhatul Hidayah, S.T, M.Pd.
NIP. 19830415 200912 2006

NOTA DINAS

Yth. Ketua Program Studi Kimia
Fakultas Sains dan Teknologi
UIN Walisongo Semarang

Assalamu'alaikum Warohmatullohi Wabarakatuh

Dengan ini diberitahukan bahwa saya telah melakukan bimbingan, arahan, dan koreksi naskah skripsi dengan:

Judul : Dekolorisasi Nira Tebu Menggunakan Membran Nilon/TiO₂

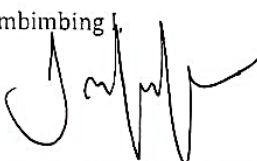
Penulis : Indah Rifdah Huwaiddah

NIM : 1908036029

Jurusan : Kimia

Saya memandang bahwa naskah tersebut sudah dapat diajukan kepada Fakultas Sains dan Teknologi UIN Walisongo untuk diujikan dalam Sidang Munaqosyah.

Wassalamu'alaikum Warohmatullohi Wabarakatuh

Pembimbing,


Dr. Malikhatul Hidayah, M.Pd.
NIP. 19830415 200912 2006

ABSTRAK

Judul : **Dekolorisasi Nira Tebu Menggunakan Membran Nilon/TiO₂**

Nama : Indah Rifdah Huwaidah

NIM : 1908036029

Teknologi membran menjadi alternatif untuk pengurangan warna (dekorolisasi) nira tebu dengan harga yang terjangkau dan mudah dilakukan. Tujuan penelitian ini untuk mengetahui karakteristik dan kinerja membran nilon dan nilon/TiO₂ pada nira tebu. Pembuatan membran nilon menggunakan variasi TiO₂ 0%, 1%, 3% dan 5%. Karakteristik membran diuji dengan FTIR, Kuat Tarik dan SEM. Kinerja membran diuji fluks dan rejeksinya terhadap dekorolisasi nira tebu. Hasil FTIR membran nilon/TiO₂-1%, 3%, dan 5% dengan vibrasi ulur C-H₂ pada puncak sedang pada 2938 cm⁻¹; 2939 cm⁻¹; 2939 cm⁻¹ dan vibrasi ulur dari Ti-O muncul pada 686 cm⁻¹; 682 cm⁻¹; 680 cm⁻¹. Modulus young pada membran variasi TiO₂ 3% sebesar 36,38 MPa. Analisis SEM-EDX membran nilon/TiO₂-3% sebesar 1,36 μm dengan unsur Ti 1,06% dan membran nilon/TiO₂-5% ukuran pori 1,70 μm dengan unsur Ti 1,78%. Aplikasi membran untuk dekorolisasi menghasilkan uji fluks pada membran nilon/TiO₂-3% sebesar 11,15 L/m².jam dengan nilai brix 5° dan menghasilkan nilai rejksi sebesar 75%. Hasil dekorolisasi membran nilon/TiO₂-0%, 1%, 3%, dan 5% yakni 15,21%; 24,58%; 43%; dan 3,1%. Hasil warna nira tebu awal 9.204,65 IU dan hasil dekorolisasi nira tebu menggunakan membran Nilon/TiO₂-0%, 1%, 3%, 5% sebesar 7.804,92 IU; 6.941,80 IU; 5.246,58 IU; 8.919,10 IU.

Kata kunci: Membran, Nilon, TiO₂, Nira Tebu, Dekolorisasi

KATA PENGANTAR

Assalamu'alaikum Warohmatullohi Wabarakatuh

Alhamdulilah, puji dan syukur penulis panjatkan kehadirat Allah SWT, yang telah melimpahkan rahmat dan karunianya kepada penulis sehingga penulis dapat menyelesaikan penelitian dan skripsi ini sebagaimana mestinya. Shalawat serta salam selalu tercurah kepada Nabi Muhammad SAW beserta para sahabatnya.

Skripsi dengan judul "**DEKOLORISASI NIRA TEBU MENGGUNAKAN MEMBRAN NILON/TiO₂**" disusun untuk memenuhi syarat guna memperoleh gelar sarjana sains dalam Ilmu Kimia Fakultas Sains dan Teknologi UIN Walisongo Semarang.

Penulis menyadari bahwa dalam pelaksanaan penelitian dan penyusunan skripsi tentunya tidak lepas dari dukungan, arahan, bimbingan, serta motivasi dari banyak pihak. Oleh karena itu, pada kesempatan ini penulis mengucapkan terima kasih kepada:

1. Dr. H. Ismail, M. Ag, selaku Dekan Fakultas Sains dan Teknologi UIN Walisongo Semarang.
2. Dr. Malikhatul Hidayah, S. T., M. Pd, selaku Ketua Progam Studi Kimia UIN Walisongo Semarang dan dosen

pembimbing yang telah bersedia meluangkan waktu tenaga dan pikiran dalam memberikan bimbingan dan pengarahan kepada penulis.

3. Mulyatun, M. Si, selaku Sekretaris Progam Studi Kimia UIN Walisongo Semarang yang senantiasa memberikan bimbingan, dukungan, serta motivasi kepada penulis selama belajar di UIN Walisongo.
4. Kholidah, M.Sc, selaku dosen Wali yang senantiasa memberikan bimbingan, dukungan, serta motivasi kepada penulis selama belajar di UIN Walisongo.
5. Segenap Bapak dan Ibu Dosen Kimia, Pegawai dan Civitas Akademik Fakultas Sains dan Teknologi UIN Walisongo yang sudah memberikan ilmu, pengetahuan, pengalaman, motivasi, dan pelajaran berharga bagi penulis.
6. Ibu Anita Karunia Z, S. Si, Ahmad Mughis, S. Pd, dan segenap asisten laboratorium kimia, yang telah berbagi pengalaman berharga bagi penulis selama penulis beraktivitas dan belajar sebagai asisten di Laboratorium Kimia UIN Walisongo.
7. Bapak Iwan Sanjaya dan Ibu Nur Kumala, selaku orang tua kandung penulis dan adik penulis (M Hasbi Sanjaya) yang selalu memberi semangat dan motivasi terutama kasih

sayang serta do'a disetiap harinya.

8. Keluarga Kimia 2019, segenap keluarga KKN MIT 14 kelompok 54, yang telah membentuk pribadi penulis.
9. Semua pihak yang telah memberikan semangat yang tidak bisa disebutkan satu per satu demi terselesaiannya tugas akhir ini.

Penulis menyadari bahwa dalam penyusunan skripsi ini banyak kekurangan dan jauh dari kesempurnaan. Oleh karena itu, penulis mengharapkan kritik dan saran agar penulis dapat memperbaiki tugas akhir ini. semoga naskah skripsi ini dapat memberikan manfaat bagi penulis dan pembaca.

Wassalamu'alaikum Warohmatullohi Wabarakatuh.

DAFTAR ISI

| | |
|---|-------------|
| PERNYATAAN KEASLIAN | ii |
| NOTA DINAS..... | iii |
| ABSTRAK..... | v |
| DAFTAR ISI | ix |
| DAFTAR TABEL..... | xii |
| DAFTAR GAMBAR | xiii |
| DAFTAR LAMPIRAN | xiv |
| BAB I | 1 |
| PENDAHULUAN..... | 1 |
| A. Latar Belakang Masalah | 1 |
| B. Perumusan Masalah | 7 |
| C. Tujuan Penelitian | 7 |
| D. Manfaat Penelitian..... | 8 |
| BAB II..... | 9 |
| LANDASAN PUSTAKA..... | 9 |
| A. Teknologi Membran | 9 |
| 1. Klasifikasi Membran..... | 10 |
| 2. Teknik Pembuatan Membran | 11 |
| B. Polimer Nilon..... | 14 |
| C. Bahan Anorganik Titanium Dioksida (TiO_2) | 16 |

| | | |
|-------------------------------|--|----|
| D. | Metode Inversi Fasa | 18 |
| 1. | Presipitasi dengan Penguapan | 19 |
| 2. | Presipitasi Fasa Uap | 19 |
| 3. | Presipitasi dengan Penguapan Terkontrol..... | 20 |
| 4. | Presipitasi dengan Pencelupan | 20 |
| E. | Nira Tebu | 20 |
| F. | Karakterisasi Membran Nilon/TiO ₂ | 23 |
| 1. | <i>Fourier Transform Infrared</i> (FTIR)..... | 23 |
| 2. | <i>Scanning Electron Microscope</i> (SEM) | 24 |
| 3. | Spektrofotometer UV-Vis..... | 24 |
| 4. | Uji Kuat Tarik..... | 27 |
| G. | Pengujian Membran | 28 |
| H. | Kajian Pustaka | 29 |
| BAB III | 32 | |
| METODE PENELITIAN..... | 32 | |
| A. | Alat dan Bahan..... | 32 |
| 1. | Alat..... | 32 |
| 2. | Bahan..... | 32 |
| B. | Prosedur Penelitian..... | 33 |
| 1. | Sintesis Membran Nilon | 33 |
| 2. | Sintesis Membran Nilon/TiO ₂ | 34 |
| 3. | Karakterisasi Membran Nilon dan Nilon/TiO ₂ | 35 |

| | | |
|---|---|------------|
| 4. | Aplikasi Membran Nilon/TiO ₂ | 39 |
| BAB IV | | 41 |
| HASIL DAN PEMBAHASAN..... | | 41 |
| A. Sintesis Membran Nilon..... | | 41 |
| B. Sintesis Membran Nilon/TiO ₂ | | 43 |
| C. Karakterisasi Membran | | 45 |
| 1. Uji FTIR..... | | 45 |
| 2. Uji Tarik..... | | 48 |
| 3. Uji SEM-EDX Mapping | | 51 |
| D. Aplikasi Membran untuk Dekolorisasi Nira Tebu | | 59 |
| 1. Uji Fluks Membran | | 59 |
| 2. Uji Rejeksi Membran | | 61 |
| 3. Uji Dekolorisasi Nira Tebu..... | | 63 |
| BAB V | | 68 |
| PENUTUP..... | | 68 |
| A. Kesimpulan | | 68 |
| B. Saran..... | | 69 |
| DAFTAR PUSTAKA..... | | 70 |
| LAMPIRAN | | 84 |
| RIWAYAT HIDUP | | 113 |

DAFTAR TABEL

| | |
|--|----|
| Tabel 2.1 Tingkatan Warna ICUMSA Gula | 22 |
| Tabel 2.2 Spektrum Tampak Dan Warna-Warna Komplementer | 27 |
| Tabel 4.1 Kandungan Unsur Membran Nilon/TiO ₂ -3% | 55 |
| Tabel 4.2 Kandungan Unsur Membran Nilon/TiO ₂ -5% | 56 |
| Tabel 4.3 Koefisien Rejeksi Membran | 62 |
| Tabel 4.4 Uji Dekolorisasi Nira Tebu | 64 |

DAFTAR GAMBAR

| | |
|---|----|
| Gambar 2.1 Struktur Senyawa Nilon 6,6 | 14 |
| Gambar 2.2 Struktur Kristal TiO ₂ | 16 |
| Gambar 4.1 Membran Nilon | 42 |
| Gambar 4.2 Membran Nilon/TiO ₂ | 44 |
| Gambar 4.3 Spektra Ftir Nilon, TiO ₂ Dan Nilon/TiO ₂ | 46 |
| Gambar 4.4 Grafik Uji Tarik Membran Nilon | 49 |
| Gambar 4.5 Grafik Pengaruh Konsentrasi TiO ₂ Terhadap Uji Tarik Membran | 50 |
| Gambar 4.6 Perbesaran Morfologi Sem 4000 Kali Membran Nilon/TiO ₂ -3% | 52 |
| Gambar 4.7 Perbesaran Morfologi Sem 4000 Kali Membran Nilon/TiO ₂ -5% | 52 |
| Gambar 4.8 Analisis Edx Membran Nilon/TiO ₂ -3% | 54 |
| Gambar 4.9 Analisis Edx Membran Nilon/TiO ₂ -5% | 54 |
| Gambar 4.10 Analisis Distribusi Penyebaran Ti Pada Membran Nilon/TiO ₂ -3% | 57 |
| Gambar 4.11 Analisis Distribusi Penyebaran Ti Pada Membran Nilon/TiO ₂ -5% | 58 |
| Gambar 4.12 Grafik Pengaruh Jumlah TiO ₂ Pada Fluks Membran | 60 |

DAFTAR LAMPIRAN

| | |
|--|-----|
| Lampiran 1 Sintesis Membran Nilon | 84 |
| Lampiran 2 Sintesis Membran Nilon/Tio ₂ | 85 |
| Lampiran 3 Analisis Data | 86 |
| Lampiran 4 Tabel Hubungan Massa Jenis Dengan °brix Nira Tebu | 95 |
| Lampiran 5 Data Pengukuran Diameter Permukaan Pori Membran Menggunakan Imagej | 98 |
| Lampiran 6 Dokumentasi | 104 |

BAB I

PENDAHULUAN

A. Latar Belakang Masalah

Indonesia memiliki industri gula yang sudah berdiri dan beroperasi sejak zaman Belanda. Industri gula memproduksi gula menggunakan mesin dan peralatan produksi dengan kondisi alat-alat yang lama, sehingga berefek pada efisiensi dan hasil produk pabrik menjadi kurang maksimal. Industri gula kristal putih (GKP) di Indonesia semakin meningkat, tetapi peningkatannya belum mampu menyeimbangkan peningkatan konsumsi. Industri gula di Indonesia memproduksi gula kristal putih (GKP) yang belum dapat mencukupi untuk kebutuhan konsumsi, kualitas gula kristal putih (GKP) yang diproduksi juga masih belum maksimal (Hamzah et al., 2020).

Food and Agriculture Organization (FAO) mencatat ada dua tanaman gula utama di dunia: (1) tebu dan (2) gula bit. Indonesia memproduksi gula utama terbuat dari tebu. Pulau Jawa, salah satu pulau besar di kepulauan Indonesia sebagai produsen dan eksportir

gula tebu terbesar kedua setelah Kuba di awal abad kedua puluh (Sahat, 2017). Industri gula di Indonesia memiliki masalah utama yakni hasil produksi yang rendah dikarenakan kurangnya adopsi teknologi. Industri gula pada umumnya memurnikan nira dengan teknologi sulfitasi, selain itu pemurnian nira memakai teknologi karbonatasasi yang diaplikasikan sejak zaman Belanda (Kurniawan et al., 2018). Gula kristal putih diproses melalui pemurnian gula, zat bukan gula dipisahkan dari zat yang mengandung gula. Ada 3 tahapan pemurnian nira tebu di Indonesia, yaitu proses defekasi, proses sulfitasi dan karbonatasasi (Sinuhaji, 2017).

Gula berasal dari tebu yang bersifat lembab dan panas, berguna membersihkan lendir tenggorokan, mengobati batuk, memperlancar proses urine, membersihkan kerongkongan, membantu proses muntah, dan menambah stamina (Qayyim et al., 2016). Para medis zaman Usman bin Affan hanya mengenal madu, dan menggolongkannya sebagai obat. Gula yang berasal dari tebu belum pernah diulas oleh kalangan

medis terdahulu. Seorang pakar pengobatan Affan bin Muslim Ash-Shaffar mengatakan:

"Barangsiapa menghisap tebu setelah makan, maka pada hari itu ia akan terus bergembira."

Gula memiliki khasiat yang sama dengan madu, yakni untuk mengobati lumpuh, memperkuat lambung, melancarkan proses pencernaan, mempertajam pandangan mata, mengobati rabun, sesak napas, dan stroke ringan (Qayyim et al., 2016).

Gula kristal putih yang diproduksi berasal dari nira tebu dari hasil perasan batang tebu yang mengandung kadar sukrosa yang tinggi, vitamin, mineral, nutrisi, dan enzim fitase yang dianggap lebih alami dengan biaya yang lebih terjangkau dibandingkan gula pasir (Rahmani, 2022). Nira tebu mengandung bahan pengotor bukan gula seperti gula pereduksi, asam amino, asam organik dan anorganik, zat pati, protein, mineral (kalium, magnesium, kalsium, dan silika), lilin, gum, dan warna (klorofil) (Makur et al., 2019). Bahan pengotor bukan gula perlu dipisahkan sebelum nira diproses untuk menghindari perubahan warna,

peningkatan viskositas, pembentukan molase yang berlebih, dan inversi sukrosa (Maulina et al., 2018).

Industri gula termasuk salah satu industri makanan yang memiliki proses penggunaan energi yang tinggi. Industri gula menggunakan sistem membran, seperti *pretreatment* sari buah setelah pengapuran dengan ultrafiltrasi (UF), perawatan kekentalan cairan setelah penguapan dengan UF, perawatan molase menggunakan *Electrodialysis* (ED) dan pemanfaatan bahan baku dengan UF (Ines et al., 2016; Kurniawan et al., 2018).

Pemurnian gula dengan teknologi akan menentukan tingkat absorbsi komponen warna sehingga produknya lebih cerah dan bersih. Teknologi penjernihan gula juga mampu menekan kerusakan gula reduksi sehingga dapat menentukan besar kecilnya kehilangan gula pada proses pemurnian. Banyaknya produk dan mutu produk akhir sangat ditentukan oleh efisiensi proses pemisahan bahan pengotor tersebut (Hamzah et al., 2020). Prinsip teknologi tercantum dalam al-Qur'an surah Al a'la ayat 8.

٨ وَنَبِيَّكُ إِلَيْكُمْ

Kami akan melapangkan bagimu jalan kemudahan (dalam segala urusan).

Ayat tersebut telah dijelaskan juga dalam tafsir Ibnu Katsir, tafsir tersebut mengatakan bahwa Allah SWT telah memberikan jalan yang mudah kepada manusia untuk mengerjakan perilaku dan perkataan yang baik, penuh toleransi, lurus, adil, tidak ada kebengkokan padanya, mensyariatkan kepadamu suatu hukum yang mudah, dan tidak ada beban dan tidak pula kesulitan (Ishaq, 2013).

Teknologi membran telah dilakukan oleh para ilmuwan dalam dekade terakhir untuk meningkatkan efisiensi proses dalam pengolahan gula (Kurniawan et al., 2018; Rafik et al., 2015). Membran nilon bersifat kuat, semikristalin, tahan terhadap suhu tinggi, dan memiliki sifat mekanik yang unggul.

Polimer nilon-6,6 bersifat biodegradabel, biokompatibel dan banyak dimanfaatkan pada berbagai bidang karena harganya murah serta ekonomis sehingga dapat digunakan berulang-ulang, kemampuan membentuk serat yang baik, kualitas

mekanik dan stabilitas termal yang tinggi (Jabur et al., 2017). Penambahan bahan anorganik dapat meningkatkan kinerja membran polimer. *Filler* yang umumnya digunakan dalam membran adalah bahan berpori, salah satunya yaitu titanium dioksida (TiO_2).

Titanium dioksida (TiO_2) sebagai bahan yang digunakan sebagai filler pada membran. TiO_2 sebagai zat aditif yang dapat menghindari adanya fouling. TiO_2 sebagai nanopartikel yang dapat meningkatkan sifat hidrofilisitas, *selfcleaning*, dan antibakteri pada membran itu sendiri selain itu TiO_2 mempunyai sifat stabilitas termal dan tidak beracun (Mataram et al., 2020).

Penelitian ini dilakukan untuk menyintesis membran nilon dengan TiO_2 . Nilon yang digunakan pada penelitian ini ialah benang nilon pancing. Penggunaan benang nilon digunakan karena sifat bahannya yang kuat, tahan terhadap suhu tinggi, mudah didapatkan dan ramah lingkungan tetapi nilon bersifat higroskopis sehingga perlu penambahan TiO_2 sebagai bahan tambah pada membran nilon karena bahan titanium dioksida dapat meningkatkan sifat

hidrofilitas, *selfcleaning* dan *antifouling* pada membran.

Penelitian ini akan dilakukan sintesis dan karakterisasi membran nilon/TiO₂ sebagai dekolorisasi nira tebu. Karakterisasi digunakan untuk mengetahui sifat-sifat membran yang akan diaplikasikan pada nira tebu.

B. Perumusan Masalah

1. Bagaimana karakteristik dari membran nilon dan membran Nilon/TiO₂?
2. Bagaimana kinerja membran Nilon/TiO₂ dalam dekolorisasi nira tebu?

C. Tujuan Penelitian

Secara umum, penelitian ini bertujuan untuk menyintesis membran nilon dengan TiO₂, mengarakterisasi dan menguji kinerja membran. Secara khusus, penelitian ini bertujuan untuk :

1. Mengetahui karakteristik dari membran nilon dan membran Nilon/TiO₂
2. Mengetahui kinerja membran Nilon/TiO₂ dalam

dekolorisasi nira tebu.

D. Manfaat Penelitian

Manfaat yang dapat diperoleh dari penelitian ini adalah sebagai berikut:

1. Memberi informasi kepada masyarakat maupun industri dalam mendorong pengembangan dan pemanfaatan material alternatif sebagai bahan baku membran.
2. Memberikan kontribusi terhadap perkembangan ilmu pengetahuan dan teknologi, khususnya teknologi membran.
3. Memberi informasi mengenai perkembangan teknologi membran, cara pembuatan membran dan dapat digunakan sebagai perbandingan terhadap penelitian yang berkaitan dengan karakteristik efek pemurnian nira tebu.

BAB II

LANDASAN PUSTAKA

A. Teknologi Membran

Teknologi pemisahan membran dalam pengolahan air dapat menggantikan proses pengolahan air konvensional karena lebih sederhana, layout lebih kecil, biaya operasi dan perawatan lebih rendah, dan suhu operasi bekerja pada suhu ruang..

Teknologi pemisahan membran adalah metode alternatif yang bagus untuk menghasilkan air bersih karena dapat menjernihkan air dengan tingkat yang sangat tinggi dan dapat menghilangkan bakteri patogen sepenuhnya. (Fathanah, 2021; Jamshidi et al., 2014). Dalam industri seperti pengolahan makanan, pengolahan air limbah, bioseparasi, dan industri farmasi, telah menggunakan proses pemisahan membran. (Fathanah, 2021; Nie et al., 2015).

Teknologi membran berfokus pada pengangkutan atau penolakan zat melalui atau oleh membran. Teknologi membran digunakan untuk menjelaskan

proses pemisahan mekanis dalam memisahkan aliran cairan atau gas (Lestari, 2020).

Teknologi membran multidisiplinnya, dimanfaatkan di industri pengolahan air untuk pasokan air rumah tangga dan industri, industri makanan dan minuman, kimia, bioteknologi, farmasi, dan industri metalurgi. Teknologi membran memberikan peran dengan standar kinerja yang tinggi, selektifitas tinggi, fluks tinggi, dan fouling rendah sehingga membran telah menarik perhatian dari para peneliti (Fathanah, 2021).

1. Klasifikasi Membran

Membran dapat berasal dari bahan alami atau sintetis; pertama organik, seperti polimer dan makromolekul, dan yang kedua bisa anorganik, seperti keramik dan logam. Struktur membran dapat simetris atau asimetris, dan transpor melintasi membran dapat pasif, aktif, atau reaktif, tergantung pada kemampuan membran untuk mengubah sifat kimiawi bahan yang diserap.

Transpor pasif digerakkan oleh berbagai cara

seperti konsentrasi, tekanan, dan perbedaan listrik. Proses operasi dan pemisahan didasarkan pada sifat fisik atau kimia dari komponen yang akan dipisahkan. Interaksi muatan-saring, kelarutan-difusivitas, dan saringan adalah beberapa mekanisme pemisahannya. Aplikasi teknologi membran dalam bidang dengan fase cair dan gas (industri air, makanan, farmasi, minyak, petrokimia, dan gas) (Lestari, 2020).

2. Teknik Pembuatan Membran

Beberapa teknik pembuatan membran yang paling penting diantaranya:

a. *Sintering*

Metode ini digunakan untuk menghasilkan membran organik dan anorganik dengan ukuran pori antara 0,1 dan 10 μm dengan menekan dan memanaskan membran pada suhu yang tinggi sehingga antarmuka partikel yang berdekatan menghilang dan menghasilkan pori-pori.

b. *Stretching*

Membran yang disintesis dari polimer semikristal ditarik searah dengan arah bahan membran sehingga bagian kristal dari polimer terletak sejajar dengan arah bahan membran. Pori yang terbentuk berukuran antara 0,1-3 μ m.

c. *Tracketching*

Teknik *tracketching* ialah partikel radiasi berenergi tinggi menembak polimer tegak lurus ke membran, membentuk lintasan di matriks membran. Pori akan terbentuk sepanjang lintasan membran dalam bak asam atau basa. Pori yang dihasilkan memiliki ukuran seragam (simetri) dan berkisar antara 0,02 dan 10 μ m.

d. *Template leaching*

Membran berpori terbentuk ketika salah satu bagian membran dilepas, yang menyebabkan sintesis *template leaching*

dengan menambah asam atau basa, fasa pertama akan terlepas dari fasa yang larut. Ukuran pori yang dihasilkan berkisar dari sekitar 5 nm.

e. *Coating*

Sebuah membran komposit terdiri dari dua material: material yang sangat selektif berada di bagian atas membran, yang menentukan selektivitas membran, dan material berpori besar berada di bagian bawah membran. Polimer membran yang rapat menghasilkan nilai fluks yang rendah. *Dipcoating*, polimerisasi plasma, polimerisasi antarmuka, dan polimerisasi insitu adalah beberapa metode yang dapat digunakan untuk melapisi.

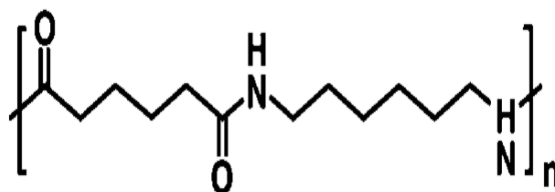
f. Inversi fasa

Proses transisi polimer dari fasa cair ke fasa padat dikenal sebagai inversi fasa. Pada awal proses pemanasan, atau solidifikasi, satu

fasa cair berubah menjadi dua fasa cair yang saling bercampur. Peristiwa ini disebut pemisahan cair-cair. Salah satu fasa cair tersebut adalah fasa yang banyak mengandung polimer. Selama proses inversi fasa, fasa tersebut akan memadat, membentuk matriks (membran).

B. Polimer Nilon

Nilon termasuk senyawa poliamida sintetis yang jika dilihat dari sifat fisik, kimia dan strukturnya pembentukan membran sangat mungkin. Nilon linear dan aromatik berbeda. Nilon aromatik memiliki gugus aromatik pada unit ulangannya, misalnya nilon-6,6 sedangkan nilon linear terdiri dari rantai lurus, misalnya nilon-6. (Apipah et al., 2014).



Gambar 2.1 Struktur Senyawa Nilon 6,6

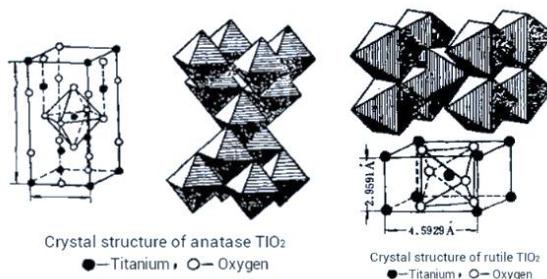
Nilon merupakan polimer hidrofilik, yakni kompatibel terhadap air dan alkohol. Polimer nilon terbentuk dari unit ulangan ikatan peptide (poliamida). Polimer nilon karena sifatnya baik dalam hal mekanik, termal, dan kimia, sifat semikristalin banyak digunakan sebagai polimer dalam industri tekstil dan plastik. Polimer nilon dengan ukuran pori yang kecil dan tahan terhadap pH dan suhu tinggi. (Afifah, 2021).

Membran nilon memiliki keunggulan dibandingkan dengan membran lain karena tahan terhadap pH dan suhu tinggi, dan pori yang kecil. Polimer nilon sebagian besar terbuat dari bahan anorganik seperti batu bara, air, dan udara. Monomer dengan berat molekular rendah ini direaksikan untuk membentuk rantai polimer panjang.

Polimer nilon pada dasarnya bersifat lentur atau ulet, terdiri dari polimer yang sangat tahan terhadap pencampuran dengan bahan kimia lain. Nilon sangat tangguh secara mekanik saat ditarik. (Maulina et al., 2018).

C. Bahan Anorganik Titanium Dioksida (TiO_2)

Titanium dioksida (TiO_2) merupakan salah satu bahan anorganik yang memiliki sifat hidrofilisitas, daya tahan yang tinggi terhadap bakteri dan harga yang murah. Titanium dioksida (TiO_2) memiliki tiga fase kristal yang berbeda yaitu rutile, anatase dan brookite.



Gambar 2.2 Struktur Kristal TiO_2

Pemanasan serbuk titanium dioksida (TiO_2) menghasilkan bentuk kristal anatase pada suhu $120^\circ C$ dan mencapai sempurna pada suhu $500^\circ C$. Pada suhu rendah, rutil biasanya lebih stabil pada suhu rendah, sedangkan anatase lebih stabil pada suhu tinggi. Kedua sistem terdiri dari sistem kristal tetragonal. Struktur kristal brookite adalah ortorombik dan sering ditemukan pada mineral.

Anatase adalah yang paling aktif dari ketiga bentuk kristal; itu memiliki struktur kristal yang lebih stabil, tidak beracun, sangat tahan terhadap asam dan basa, serta mempunyai aktivitas fotokatalitik yang luar biasa. Komposisi kristal rutil, anatase, dan brookite digambarkan dalam rantai octahedron titanium dioksida (TiO_2).

Penggunaan TiO_2 banyak digunakan bidang industri, baik dalam bentuk tetragonal rutile maupun anatase, sebagai pigmen pemutih, bahan utama keramik untuk elektronik (BaTiO_3) dan bahan baku untuk pembuatan titanium dioksida (TiO_2) *polymeric precursor*. Titanium dioksida (TiO_2) telah banyak digunakan dalam teknologi membran untuk meningkatkan permeabilitas dan sifat antifouling membran karena efek fotokatalitik dan superhidrofilisitas. Penggunaan titanium dioksida (TiO_2) dapat mencegah terjadinya fouling dengan cara memasukkan nanopartikel titanium dioksida (TiO_2) di atas permukaan membran polimerik (Isrofiyah, 2018).

D. Metode Inversi Fasa

Metode inversi fasa pertama kali diperkenalkan pada akhir tahun 1950 oleh Sidney Loeb dan Srinivasa Sourirajan yang dikenal dengan metode Loeb-Sourirajan. Metode ini menghasilkan membran asimetri dengan ukuran pori yang bervariasi. Sintesis membran dilakukan bertahap. Pertama, pembuatan larutan membran dengan homogen, penguapan pelarut secara sebagian pada lapisan atas dan terakhir pengendapan polimer dalam wadah yang berisi nonpelarut.

Polimer yang digunakan harus memiliki kelarutan yang rendah dalam nonpelarut. Kelarutan polimer dalam nonpelarut mempengaruhi pori-pori yang terbentuk. Jumlah polimer yang terbentuk berkorelasi dengan kelarutan polimer dalam nonpelarut, jumlah polimer yang terbentuk juga dipengaruhi oleh konsentrasi polimer dalam larutan cetak. Konsentrasi polimer yang lebih tinggi dalam larutan cetak menyebabkan pori yang semakin rapat. Menurut Ali (2016), beberapa teknik metode inversi fasa, seperti:

1. Presipitasi dengan Penguapan

Pelarut Polimer dilarutkan dalam pelarut dan kemudian larutan polimer dicetak di atas plat kaca. Setelah itu larutan dibiarkan agar pelarutnya menguap ke atmosfer. Larutan polimer akan semakin pekat selama penguapan dan akhirnya memadat menjadi membran. Membran yang dihasilkan melalui teknik ini adalah membran homogen yang tebal.

2. Presipitasi Fasa Uap

Untuk membuat membran, cetakan larutan dope, yang terdiri dari polimer dan pelarut, diletakkan pada susunan uap. Fasa uap mengandung uap jernih pelarut dan nonpelarut yang sama dengan cetakan larutan dope, sehingga pelarut tidak dapat menguap dari cetakan larutan dope, sehingga terbentuk membran berpori dengan permukaan terbuka (tanpa kulit).

3. Presipitasi dengan Penguapan Terkontrol

Teknik ini menggunakan campuran pelarut dan nonpelarut sebagai pelarut untuk polimernya. Karena pelarut lebih mudah menguap daripada non-pelarut maka kecepatan penguapan dapat dikontrol dengan mengatur komposisi campuran pelarut dan non-pelarut. Setelah pelarut menguap semua akan menghasilkan fasa polimer padat (membran).

4. Presipitasi dengan Pencelupan

Pada teknik ini larutan dicetak di atas plat kaca, setelah itu dicelupkan ke dalam bak koagulan. Pengendapan terjadi karena difusi koagulan (air) ke dalam larutan cetak dan difusi pelarut dari larutan cetak.

E. Nira Tebu

Tebu (*Saccharum officinarum L.*) merupakan tumbuhan rerumputan raksasa yang tergolong dalam keluarga *Poaceae* dan termasuk tanaman penting secara ekonomi. Tebu dibudidayakan di daerah tropis

dan subtropis di dunia. India berada di urutan kedua di antara semua negara penghasil tebu setelah Brasil, dengan persentase pertumbuhan hampir 20,4% area dan 18,6% produksi (Panigrahi et al., 2021).

Kitab Ayurveda India kuno membahas mengenai tebu sebagai obat tunggal serta obat kombinasi dengan herbal dan tanaman lainnya. Tebu banyak tersedia selama musim panen tetapi jarang tersedia di luar musim. Sebagian besar dari hasil panen tebu tetap tidak dimanfaatkan karena kesenjangan yang luas antara produksi dan komersialisasi menimbulkan kerugian besar bagi para petani tanaman.

Warna merupakan parameter penting dalam karakteristik gula. *International Commission for Uniform Methods of Sugar Analysis* (ICUMSA) adalah organisasi yang didirikan untuk mengembangkan metode analisis kualitas gula. Warna ICUMSA menunjukkan kualitas warna gula dalam larutan, salah satu parameter kualitas gula. Warna gula berdasarkan tingkatannya menunjukkan tingkat kemurnian dan kadar kotoran gula (Widiaswanti, 2014). Tingkatan warna ICUMSA gula sebagai berikut.

Tabel 2.1 Tingkatan Warna ICUMSA Gula

| Jenis Gula | Warna ICUMSA | Manfaat |
|-------------------------------|--------------|--|
| Rafinasi | 45 | Bahan baku gula industri di Indonesia Bahan baku kue, minuman, atau konsumsi langsung |
| Ekstra Spesial | 100 - 150 | Bahan baku industri gula, bahan tambah makanan dan minuman |
| Kristal Putih | 200 - 300 | |
| Kristal Mentah untuk konsumsi | 600 - 800 | Bahan tambah bubur |
| Kristal Mentah | 1600 - 2000 | Bahan baku gula rafinasi dan MSG |
| Mentah | >4600 | Bahan utama gula rafinasi dan tidak boleh dikonsumsi |

Tebu yang telah digiling dapat menghasilkan larutan yang disebut dengan nira. Nira sebagai bahan baku pembuatan gula, berasal dari tebu yang telah digiling dan menghasilkan warna coklat kehijauan. Warna dari gula tersebut berasal dari warna bahan baku dan warna yang terbentuk selama proses pembuatan gula (Luthfi et al., 2019). Gula dengan warna yang lebih cerah yaitu putih akan memiliki harga jual yang lebih tinggi.

F. Karakterisasi Membran Nilon/TiO₂

1. Fourier Transform Infrared (FTIR)

Fourier Transform Infrared (FTIR), salah satu spektrofotometer optik yang paling efektif untuk mendapatkan informasi tentang komposisi kimia bahan pada tingkat molekular. Instrumen ini dapat digunakan untuk menentukan gugus fungsi kimia dalam senyawa organik dan anorganik dengan memanfaatkan radiasi inframerah (Aykas et al., 2022; Mumtahana, 2019). Radiasi inframerah memiliki rentang panjang gelombang antara yang dibagi menjadi tiga bagian daerah panjang gelombang (Mumtahana, 2019).

Molekul organik menyerap radiasi infra merah dengan frekuensi di bawah 100 cm⁻¹ atau panjang gelombang di atas 100 cm⁻¹ dan mengubahnya menjadi energi rotasi molekul. Bila radiasi infra merah dengan frekuensi dalam kisaran 10000 cm⁻¹ sampai 100 cm⁻¹ atau dengan panjang gelombang 1 sampai 100 μm diserap oleh molekul organik dan dikonversi ke dalam energi vibrasi molekul.

2. *Scanning Electron Microscope (SEM)*

Ilmu material SEM merupakan ilmu untuk melihat struktur permukaan dan mengevaluasi perbedaan permukaan senyawa yang diperbesar berkali-kali (Goldstein & Newbury, 2017; Ural, 2021). SEM menganalisis sampel dengan berkas elektron yang dihasilkan dalam lingkungan vakum dan ditipiskan dengan lensa elektromagnetik di tempat yang sama untuk menghasilkan gambar dengan resolusi tinggi.

SEM memiliki fasilitas sebuah pistol elektron yang menghasilkan sinar elektron dan anoda mempercepatnya. Koil pemindai mengarahkan sinar elektron yang terfokus ke sampel, dan sinar elektron yang terfokus memindai sampel secara keseluruhan. Ketika elektron mengenai sampel maka sampel akan mengeluarkan elektron baru yang akan diterima oleh detektor dan dikirim ke monitor (Masta, 2020; Ural, 2021).

3. *Spektrofotometer UV-Vis*

Spektrofotometer UV-Vis berkaitan dengan

eksitasikan elektron terluar dari atom, yang terlibat dalam pembentukan molekul (Picollo et al., 2019). Pengukuran UV-Vis biasanya dilakukan dalam mode transmitansi, reflektansi dan fotoluminesensi (fluoresensi dan pendar). Pengukuran transmitansi dan reflektansi terhadap bahan referensi dicatat sebagai akuisisi fotoluminesensi dapat dianggap sebagai pengukuran absolut.

Radiasi UV-Vis yang mengenai permukaan dapat berinteraksi dengan materi dengan cara yang berbeda:

a. Transmisi

Radiasi UV-Vis ditransmisikan dengan cara difus, dipantulkan, diserap, dan dipancarkan sebagai fotoluminesensi (fluoresensi dan pendar).

b. Difusi

Radiasi UV-Vis menyebar secara lateral pada panjang gelombang yang berbeda dari radiasi monokrom insiden (difusi atau efek Raman).

Prinsip UV-Vis secara materi menyerap sebagian dari radiasi yang datang dan tereksitasi ke tingkat energi yang lebih tinggi, keadaan ini tidak stabil dan spesies kembali ke kesetimbangan awalnya. Keadaan dasar ini dapat dicapai melalui proses penonaktifan yang dapat berlangsung dalam beberapa cara yakni tanpa emisi radiasi (misalnya, konversi energi internal untuk memperoleh keseimbangan termal, yaitu disipasi sebagai panas), dengan emisi spontan radiasi dengan energi yang lebih rendah daripada radiasi yang diserap (fluoresensi, fosforesensi), dengan proses fotokimia.

Secara kualitatif absorpsi cahaya dapat diperoleh dengan pertimbangan absorpsi cahaya pada daerah tampak. Jika cahaya polikromatis (cahaya putih) dengan seluruh spektrum panjang gelombang melewati medium tertentu, itu akan menyerap panjang gelombang lain, membuat medium itu berwarna. Panjang gelombang yang diteruskan oleh cahaya sampai ke mata menentukan warna medium. Warna ini dikenal

sebagai warna komplementer untuk warna yang diabsorpsi. (Lusia, 2017). Spektrum tampak dan warna-warna komplementer ditunjukkan dalam Tabel 2.2.

Tabel 2.2 Spektrum Tampak dan Warna-Warna Komplementer

| Panjang Gelombang (nm) | Warna yang diabsorpsi | Warna yang dipantulkan (komplementer) |
|------------------------|-----------------------|---------------------------------------|
| 340 - 450 | Lembayung | Kuning - hijau |
| 450 - 495 | Biru | Kuning |
| 495 - 570 | Hijau | Violet |
| 570 - 590 | Kuning | Biru |
| 590 - 620 | Jingga | Hijau - biru |
| 620 - 750 | Merah | Biru - hijau |

4. Uji Kuat Tarik

Karakterisasi mekanis suatu material digunakan sebagai pengukur material untuk merespons gaya yang diberikan. Salah satu cara untuk mencapai mengukur sifat mekanik adalah dengan melakukan laju regangan pada material yang dapat dikontrol dan secara akurat mengukur beban yang diperlukan. Akibatnya, muncul

tegangan regangan material yang dihasilkan dari gaya dan perpindahan yang diukur serta dimensi awal sampel (Wang et al., 2017). Rumus Modulus Young (E) ialah

$$\frac{\sigma}{\varepsilon} \quad \text{Persamaan 2. 1}$$

dengan σ adalah tegangan (Pa) dan ε adalah regangan.

G. Pengujian Membran

Menghitung nilai fluks dan koefisien rejeksi membran ialah untuk menguji kinerjanya. Banyaknya volume yang diperoleh tiap satuan luas dan waktu disebut flux. Rumus Fluks

$$J = \frac{V}{A \cdot t} \quad \text{Persamaan 2. 2}$$

dengan J adalah fluks membran ($L/m^2\text{jam}$), A adalah luas membran (m^2), dan t adalah waktu (jam).

Koefisien rejeksi adalah kemampuan membran untuk menahan atau meloloskan partikel tertentu. Nilai ini berkisar antara nol persen dan seratus persen. Nilai nol persen terjadi ketika membran mampu memisahkan partikel secara sempurna (Maulina et al., 2018). Rumus koefisien rejeksi

$$R = \left(1 - \frac{C_p}{C_f}\right) \times 100\% \text{ Persamaan 2.3}$$

dengan R adalah koefisien rejeksi (%), C_p adalah konsentrasi permeat, dan C_f adalah konsentrasi umpan.

H. Kajian Pustaka

Penelitian penjernihan nira tebu telah banyak dilakukan, diantaranya Suprihatin (2007) melakukan penelitian penjernihan nira tebu menggunakan membran ultrafiltrasi dengan sistem aliran silang dengan berbagai jenis membran ultrafiltrasi sebagai aplikasi pemurnian nira tebu, termasuk fluks yang dapat dicapai, nilai rejeksi membran ultrafiltrasi terhadap bahan pengotor nira, dan mutu nira yang dihasilkan. Pada penelitian ini, prinsip aliran silang (cross flow) digunakan, dengan tiga tingkat tekanan (0,7, 1,4, dan 2,1 bar) dan laju aliran silang 0,42 m/s.

Pengukuran total padatan terlarut (Brix), kadar sukrosa (polarisasi), warna larutan, kejernihan, dan pH dilakukan. Membran ultrafiltrasi polisulfon yang dibuat sendiri di laboratorium dapat menghasilkan fluks 25-30 L/m².jam pada tekanan 0,7-2,1 bar.

Mereka dapat meningkatkan nilai kejernihan dari 10 menjadi 60% dan menurunkan warna hingga 80-90%, hampir sama dengan kemampuan membran ultrafiltrasi komersial (Suprihatin, 2007).

Maulina (2018) melakukan penelitian tentang membran nilon, yang dapat digunakan sebagai filter dalam proses penjernihan nira tebu. Hasil penelitian menunjukkan bahwa membran nilon dengan massa benang 4,5 gram memiliki nilai fluks paling tinggi dan koefisien rejeksi paling rendah. Membran dengan massa benang 6,5 gram memiliki efisiensi dan efektivitas penurunan sukrosa yang paling tinggi, dan membran dengan massa benang 4,5 gram memiliki efisiensi dan efektivitas penurunan konsentrasi sukrosa yang paling rendah.

Jabur et. al (2017) melakukan penelitian mengenai uji fluks membran dan aktivitas antibakteri membran hibrid nilon/TiO₂ menggunakan metode *electrospinning* untuk filtrasi larutan garam.. *Electrospinning* merupakan bidang nanoteknologi yang berkembang pesat. Hasil penelitian yang dilakukan menunjukkan bahwa fluks air meningkat

ketika tekanan dinaikkan dan aktivitas antibakteri meningkat dengan bertambahnya jumlah TiO₂ pada membran.

Kajian membran nilon/TiO₂ juga dipakai dalam uji aktivitas antibakteri oleh Maulina *et al* (2019) dalam pembuatan membran dengan metode inversi fasa, membran hibrid dari nilon dan titanium dioksida (TiO₂) dibuat dengan menggunakan hidrogen klorida (HCl) sebagai prekursor dan asetil aseton sebagai pengikat. Penelitian Maulina *et al* (2019) ialah mengevaluasi efek antibakteri dan permeabilitas aliran yang dihasilkan oleh TiO₂ pada membran hibrid. Membran hibrid nilon/TiO₂ dengan fraksi massa 70%:30% menunjukkan kinerja antibakteri terbaik dari semua membran yang dibuat (Isrofiyah, 2018; Maulina, 2019).

BAB III

METODE PENELITIAN

A. Alat dan Bahan

1. Alat

Alat yang digunakan pada penelitian ini antara lain labu ukur 100 mL, gelas beaker 100 mL, pipet tetes, batang pengaduk, plat kaca, selotip hitam, reaktor membran, aluminium foil, neraca analitik, *hotplate stirrer* (*SCILOGEX MS-H280-Pro*), pH meter (*OHAUS ST20*), *stopwatch*, *refractometer* (*TEKCOPLUS Refraktometer ATC*), *Universal Testing Machine* (*Brookfield CT 3 4500*), spektrofotometer FTIR (*PerkinElmer Spectrum IR Version 10.6.1*), instrumen SEM (*SEM-EDX JEOL JSM-6510LA*) dan spektrofotometer UV-VIS (*Orion Aquamate 8000*).

2. Bahan

Bahan yang digunakan pada penelitian ini antara lain benang nilon merk *aquasea*, aseton,

titanium dioksida (TiO_2) merk *Merck*, aquades, dan asam klorida (HCl 25%) merk *Mallinckrodt*.

B. Prosedur Penelitian

1. Sintesis Membran Nilon

Sintesis ini dimulai dengan menimbang massa 2 gram, 2,5 gram dan 3 gram nilon. Pembuatan membran selanjutnya dilakukan dengan mencampurkan nilon ke dalam pelarut asam klorida (HCl 25%) sebanyak 10 ml. Larutan dope diaduk dengan suhu $30^\circ C$ menggunakan *hotplate stirrer* selama 6 jam dengan kecepatan 100 rpm sehingga terbentuk larutan polimer yang homogen.

Setelah terbentuk, larutan dope dicetak pada plat kaca yang sebelumnya pada dua sisi kaca telah dilapisi selotip dan dibersihkan dengan aseton. Larutan dope diratakan dengan batang pengaduk agar menjadi lapisan tipis, proses ini disebut *casting solution*. Waktu penguapan larutan cetak pada plat kaca dengan suhu kamar adalah 120 detik. Larutan cetak direndam selama 10 menit

dalam aquades untuk menghilangkan pelarut yang terperangkap dalam membran. Selanjutnya membran diangkat dari cetakan dan dikeringkan selama 24 jam (Auline et al., 2018). Membran nilon yang sudah kering kemudian dikarakterisasi FTIR dan diuji kuat tarik (*Universal Testing Machine*).

2. Sintesis Membran Nilon/TiO₂

Sintesis ini dimulai dengan menimbang massa 3 gram nilon dengan variasi massa 1%, 3%, dan 5% TiO₂. Larutan dope diaduk dengan suhu 30°C menggunakan *hotplate stirrer* selama 6 jam dengan kecepatan 100 rpm sehingga terbentuk larutan polimer yang homogen. Setelah terbentuk, larutan dope dicetak pada plat kaca yang sebelumnya pada dua sisi kaca telah dilapisi selotip dan dibersihkan dengan aseton.

Setelah terbentuk, larutan dope dicetak pada plat kaca yang sebelumnya pada dua sisi kaca telah dilapisi selotip dan dibersihkan dengan aseton. Larutan dope diratakan dengan batang pengaduk

agar menjadi lapisan tipis, proses ini disebut *casting solution*. Waktu penguapan larutan cetak pada plat kaca dengan suhu kamar adalah 120 detik. Larutan cetak direndam selama 10 menit dalam aquades untuk menghilangkan pelarut yang terperangkap dalam membran. Selanjutnya membran diangkat dari cetakan dan dikeringkan selama 24 jam (Auline et al., 2018). Membran nilon/TiO₂ yang sudah kering kemudian dikarakterisasi menggunakan FTIR, SEM dan diuji kuat tarik (*Universal Testing Machine*).

3. Karakterisasi Membran Nilon dan Nilon/TiO₂

Karakterisasi membran nilon dan nilon/TiO₂ dilakukan menggunakan FTIR, alat uji kuat tarik (*Universal Testing Machine*), SEM, dan reaktor membran.

a. Uji Gugus Fungsi Menggunakan FTIR

Persiapan Intrumen Spektrofotometer FTIR, langkah kerja pertama, penutup instrumen dan komputer dibuka. Instrumen dan komputer dibersihkan dengan tisu kering.

Semua kabel monitor, CPU, dan instrument dirapikan dan dihubungkan ke sumber listrik. Monitor dan CPU dinyalakan. Instrumen FTIR dinyalakan dan dibiarkan selama 10 menit sebelum pengukuran.

1. Sampel Padat

Sampel padat TiO_2 disiapkan sebanyak 2 mg sampel dan 300 mg KBr dicampurkan dan dihaluskan menggunakan mortar khusus. Campuran dicetak membentuk pelet sampel kemudian diletakkan pada *sample holder* FTIR yang sudah dibersihkan menggunakan metanol dan kertas lensa.

2. Sampel Lembaran Tipis (Membran)

Sampel membran nilon dan nilon/ TiO_2 dipotong persegi sesuai ukuran sampel holder (2 cm x 2 cm). Kemudian lembaran membran yang sudah dipotong direkatkan pada bagian *sample holder* dan selanjutnya dilakukan pengukuran FTIR.

Spektrum sampel hasil FTIR akan muncul di layar monitor. Pada tab *Mathematics*, *Find Peaks* dipilih, lalu *Calculate* dipilih untuk menampilkan nilai bilangan gelombang dari setiap puncak spektrum FTIR. Spektrum sampel hasil FTIR disimpan dengan mengklik menu *File*, lalu *Print Preview*, dan simpan. Setelah sampel selesai diuji, kemudian hasil uji disimpan. Kemudian tutup semua software dan file lalu instrumen FTIR dimatikan.

b. Uji Kuat Tarik (*Universal Testing Machine*)

Uji kuat tarik pada membran dilakukan untuk mengetahui kekuatan dan elastisitas membran apabila diberikan beban tertentu. Langkah kerja yang dilakukan pada uji kuat tarik diukur sampel membran nilon dan nilon/TiO₂ (1,5 cm x 1 cm). Sampel dipasang pada pegangan (*grip*) atas dan bawah mesin uji tarik.

Sampel membran dilakukan pembebasan pada sampel hingga putus (*break*). Nilai tegangan dan regangan yang terdapat pada

display mesin uji tarik ditentukan dengan melihat hasil rekaman.

Kemudian amati *video recorder* yang digunakan untuk melihat data pada *display* mesin uji tarik. Kemudian sampel dilepaskan dari mesin uji tarik dan diamati bentuk patahan yang terjadi. Hasil data yang didapatkan dihitung modulus youngnya.

c. Uji Morfologi Menggunakan SEM-EDX

Metode analisis *scanning electron microscopy* (SEM) digunakan untuk memberikan morfologi dan mengidentifikasi struktur pori sampel. Hasil analisis ini menyerupai fotopolaroid dan dapat memfoto dengan perbesaran ukuran mulai dari 35 kali hingga 10.000 kali..

Preparasi sampel membran nilon/TiO₂ menggunakan instrumen SEM-EDX dengan memotong membran nilon/TiO₂-3% dan 5% (1 cm x 1 cm) ditempatkan pada tempat sampel yang telah dilekatkan *carbon tape*, sedangkan. Kemudian dimasukkan ke dalam

sample holder SEM. Sebelum proses analisis berlangsung, penghilangan molekul udara di dalam alat dilakukan dengan menutup gas dan klik *pump* pada computer.

4. Aplikasi Membran Nilon/TiO₂

Membran nilon/TiO₂ yang telah disintesis digunakan untuk dekolorisasi nira tebu. Membran nilon/TiO₂ dengan penambahan TiO₂-0%, 1%, 3% dan 5% dibuat melingkar sesuai alat filtrasi membran (diameter ± 40 mm).

Sampel nira tebu dimasukkan dalam reaktor sebanyak 100 mL dan ditutup rapat, kemudian diberi tekanan 2 Pa selama 30 menit. Konsentrasi larutan sebelum dan sesudah melewati membran digunakan untuk menentukan nilai fluks menggunakan persamaan 2.2, dan koefisien rejeksi menggunakan persamaan 2.3, di mana konsentrasinya diukur menggunakan *hand refractometer*. Pengujian dilakukan di Laboratorium Terpadu UIN Walisongo.

Sampel nira tebu sebelum dan sesudah

difiltrasi menggunakan membran nilon dan nilon/TiO₂ diuji derajat brix, pH dan nilai warna ICUMSA.

a. Uji Derajat Brix

Sampel nira sebelum dan sesudah filtrasi diuji derajat brixnya menggunakan *hand refractometer*.

b. Uji pH

Sampel nira tebu sebelum dan sesudah filtrasi diuji pH nya menggunakan pH meter (*OHAUS ST20*).

c. Uji Warna ICUMSA

Sampel nira tebu sebelum dan sesudah filtrasi diuji warna menggunakan spektrofotometer UV-Vis tipe *Orion Aquamate 8000* panjang gelombang yang digunakan adalah 420 nm.

BAB IV

HASIL DAN PEMBAHASAN

Penelitian ini membahas pembuatan membran nilon, membran nilon/TiO₂ serta aplikasi membran nilon/TiO₂ pada dekolorisasi warna nira tebu. Karakterisasi membran dilakukan menggunakan *Fourier Transform Infrared* (FT-IR), *Universal Testing Machine* (uji tarik), *Scanning Electron Microscope-Energy Dispersive X-Ray-mapping* (SEM-EDX mapping), serta uji fluks dan persen rejeksi. Sampel nira tebu dilakukan karakterisasi derajat brix, pH dan dekolorisasi.

A. Sintesis Membran Nilon

Sintesis ini dimulai dengan menimbang massa 2 gram, 2,5 gram dan 3 gram nilon. Pembuatan membran selanjutnya dilakukan dengan mencampurkan nilon ke dalam pelarut asam klorida (HCl 25%) sebanyak 10 ml. Larutan dope diaduk dengan suhu 30°C menggunakan *hotplate stirrer* selama 6 jam dengan putaran 100 rpm untuk menghasilkan larutan polimer yang homogen.



Gambar 4.1 Membran Nilon

Pada suhu 30°C membran nilon larut pada suhu optimum (Auline et al., 2018). Nilon merupakan bahan yang bersifat semi kristalin. Polimer nilon memiliki karakteristik temperatur transisi *glass* polimer sebesar 47°C . Penggunaan suhu membran nilon melewati temperatur transisi *glass* polimer larutan cetak membran akan menjadi encer dan ketika larutan cetak direndam dalam aquades pada suhu suhu kamar, karakteristik membran yang dihasilkan rapuh (Auline et al., 2018).

Setelah terbentuk, larutan dope dicetak pada plat kaca yang sebelumnya pada dua sisi kaca telah dilapisi selotip dan dibersihkan dengan aseton. Larutan dope diratakan dengan batang pengaduk agar menjadi lapisan tipis, proses ini disebut *casting solution*.

Waktu penguapan larutan cetak pada plat kaca dengan suhu kamar adalah 120 detik. Larutan cetak direndam selama 10 menit dalam aquades untuk menghilangkan pelarut yang terperangkap dalam membran. Selanjutnya membran diangkat dari cetakan dan dikeringkan selama 24 jam (Auline et al., 2018).

B. Sintesis Membran Nilon/TiO₂

Sintesis membran nilon/TiO₂ dimulai dengan menimbang massa 3 gram nilon dengan variasi massa 1%, 3%, dan 5% TiO₂. Larutan dope diaduk dengan suhu 30°C menggunakan *hotplate stirrer* selama 6 jam dengan putaran 100 rpm untuk menghasilkan larutan polimer yang homogen.



Gambar 4.2 Membran Nilon/TiO₂

Setelah terbentuk, larutan dope dicetak pada plat kaca yang sebelumnya pada dua sisi kaca telah dilapisi selotip dan dibersihkan dengan aseton. Larutan dope diratakan dengan batang pengaduk agar menjadi lapisan tipis, proses ini disebut *casting solution*. Waktu penguapan larutan cetak pada plat kaca dengan suhu kamar adalah 120 detik. Larutan cetak direndam selama 10 menit dalam aquades untuk menghilangkan pelarut dalam membran. Selanjutnya membran diangkat dari cetakan dan dikeringkan selama 24 jam (Auline et al., 2018).

C. Karakterisasi Membran

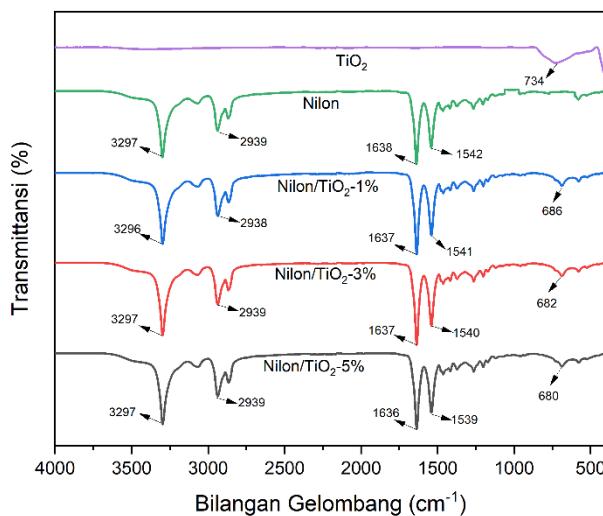
1. Uji FTIR

FTIR merupakan salah satu metode untuk mengidentifikasi dan menentukan gugus fungsi. Gambar 4.3 menunjukkan FTIR spektrum serbuk TiO_2 , membran nilon 6,6, dan membran nilon/ TiO_2 -1%, 3% serta 5%.

Berdasarkan gambar 4.3 hasil FTIR TiO_2 muncul pada puncak 734 cm^{-1} merupakan vibrasi ulur dari Ti-O sesuai dengan penelitian (Vetrivel et al., 2015). Berdasarkan puncak gelombang yang dihasilkan, nilon 6,6 memiliki pita sedang pada puncak 3297 cm^{-1} itu dikaitkan dengan peregangan N-H dari gugus amino. Selanjutnya terjadi vibrasi ulur C-H₂ akibat gugus alkana diamati pada puncak sedang pada 2939 cm^{-1} .

Membran nilon 6,6 menghasilkan puncak 1638 cm^{-1} dan 1542 cm^{-1} , dua puncak kuat terdeteksi. Pada puncak 1638 cm^{-1} , C=O membentang dari gugus karbonil dapat berikatan dengan gugus amino membentuk intra ikatan hidrogen molekuler, menyebabkan C=O meregang biasanya

terbentuk pada panjang gelombang 1760 cm^{-1} hingga 1665 cm^{-1} untuk dialihkan ke 1638 cm^{-1} . Sedangkan pada puncak gelombang 1542 cm^{-1} muncul akibat regangan C-N dan ikatan N-H. Hasil ini sesuai dengan penelitian Jasni, (2017); An T, (2017); dan Khori, (2020).



Gambar 4.3 Spektra FTIR Nylon, TiO_2 dan Nylon/ TiO_2

Hasil uji FTIR membran nilon/ TiO_2 -1% menunjukkan puncak 3296 cm^{-1} itu dikaitkan dengan peregangan N-H dari gugus amino.

Selanjutnya terjadi vibrasi ulur C-H₂ akibat gugus alkana pada puncak sedang pada 2938 cm⁻¹. Pada puncak 1637 cm⁻¹ dan 1541 cm⁻¹, dua puncak kuat terdeteksi C=O. Vibrasi ulur dari Ti-O muncul pada 686 cm⁻¹.

Hasil uji FTIR membran nilon/TiO₂-3% menunjukkan puncak 3297 cm⁻¹ itu dikaitkan dengan peregangan N-H dari gugus amino. Selanjutnya terjadi vibrasi ulur C-H₂ akibat gugus alkana pada puncak sedang pada 2939 cm⁻¹. Pada puncak 1637 cm⁻¹ dan 1540 cm⁻¹, dua puncak kuat terdeteksi C=O. Vibrasi ulur dari Ti-O muncul pada 682 cm⁻¹.

Hasil uji FTIR membran nilon/TiO₂-5% menunjukkan puncak 3297 cm⁻¹ itu dikaitkan dengan peregangan N-H dari gugus amino. Selanjutnya terjadi vibrasi ulur C-H₂ akibat gugus alkana pada puncak sedang pada 2939 cm⁻¹. Pada puncak 1636 cm⁻¹ dan 1539 cm⁻¹, dua puncak kuat terdeteksi C=O. Vibrasi ulur dari Ti-O muncul pada 680 cm⁻¹.

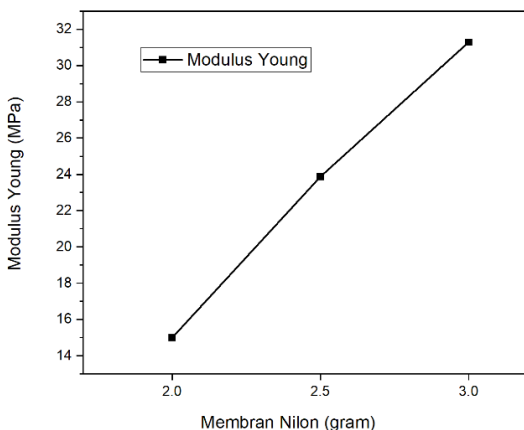
Munculnya ikatan vibrasi Ti-O pada puncak

gelombang 734 cm^{-1} merupakan khas milik TiO_2 . Berdasarkan penelitian Deswardani *et al.*, (2020) puncak gelombang Ti-O muncul pada rentang 729 - 737 cm^{-1} sedangkan Ti-O pada membran nilon/ TiO_2 -1%, 3%, dan 5% yang muncul pada puncak 686 cm^{-1} ; 682 cm^{-1} ; dan 680 cm^{-1} sesuai dengan penelitian Listanti *et al.*, (2018). Hasil karakterisasi FTIR vibrasi Ti-O dapat teridentifikasi pada bilangan gelombang 400 - 850 cm^{-1} (Kaur *et al.*, 2014).

2. Uji Tarik

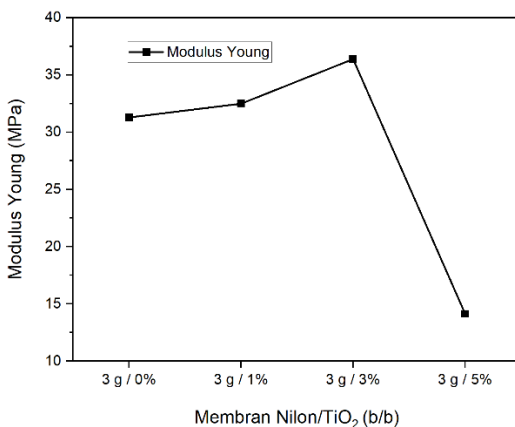
Analisis sifat mekanik dilakukan berdasarkan uji tarik, dan sifat-sifatnya diukur untuk menentukan kekuatan membran ketika mengalami gaya yang dapat mempengaruhinya.

Uji tarik umumnya digunakan untuk mengukur gaya yang dibutuhkan dalam memutuskan membran nilon.



Gambar 4.4 Grafik uji tarik membran nilon

Berdasarkan Gambar 4.4 hasil uji tarik terbaik terjadi pada membran nilon 3 gram dengan memiliki nilai modulus young terbesar yaitu 31,28 MPa. Hasil tersebut sesuai dengan penelitian Alshahrani *et al.*, (2022) dan Syahputra *et al.*, (2023) semakin besar nilai modulus young, maka sifat mekanik membran tersebut semakin baik untuk melakukan filtrasi karena semakin kuat ikatan amida dalam membran.



Gambar 4.5 Grafik pengaruh konsentrasi TiO₂ terhadap uji tarik membran

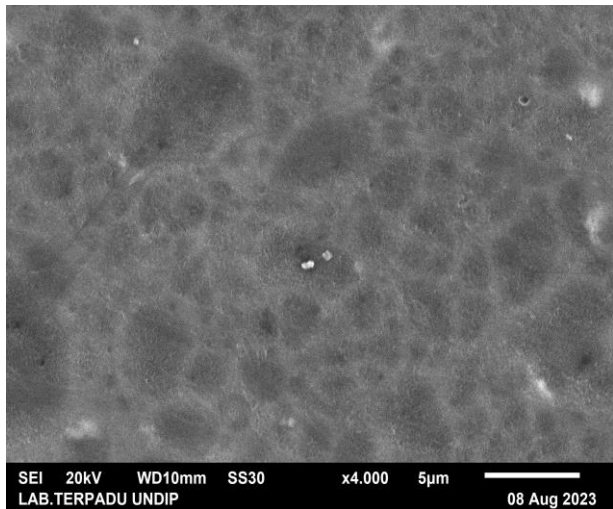
Penelitian Ngobeni *et al* (2021) menunjukkan bahwa membran dengan kekuatan mekanik yang semakin meningkat memiliki masa membran yang lebih lama terhadap kerusakan membran. Membran nilon 3 gram ini yang akan digunakan dalam pembuatan membran nilon/TiO₂.

Berdasarkan Gambar 4.5 hasil uji tarik optimum pada membran nilon/TiO₂-3% dengan memiliki nilai modulus young terbesar yaitu 36,38 MPa. Hasil uji tarik membran meningkat pada

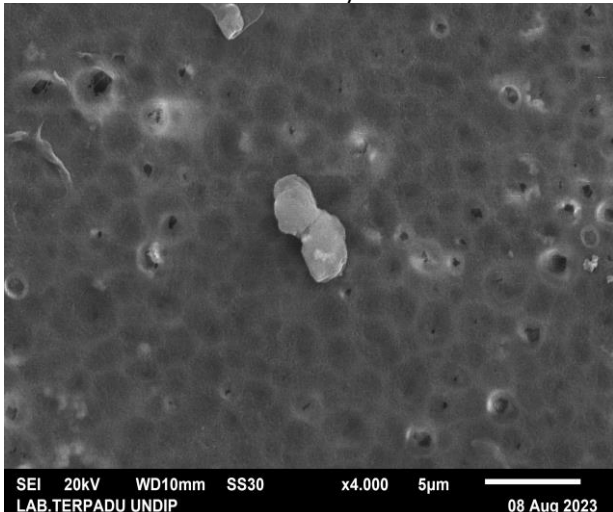
penambahan 1% dan 3% TiO_2 sedangkan pada penambahan 5% TiO_2 uji tarik menurun. Hasil uji tarik optimum pada membran nilon/ TiO_2 -3% menunjukkan penambahan TiO_2 menghasilkan sifat mekanik membran yang lebih kuat (Maqsood et al., 2023). Hasil kuat tarik pada penambahan 5% TiO_2 pada membran nilon/ TiO_2 sudah kurang efektif, hal ini ditandai dengan struktur membran yang lebih kaku dan mudah untuk patah (Firmansyah et al., 2013).

3. Uji SEM-EDX Mapping

Analisis morfologi permukaan membran nilon/ TiO_2 -3% dan membran nilon/ TiO_2 -5% telah dilakukan menggunakan SEM.



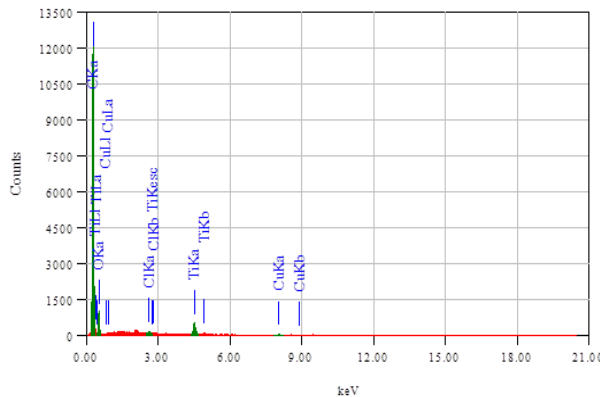
Gambar 4.6 Perbesaran morfologi SEM 4000 kali membran nilon/TiO₂-3%



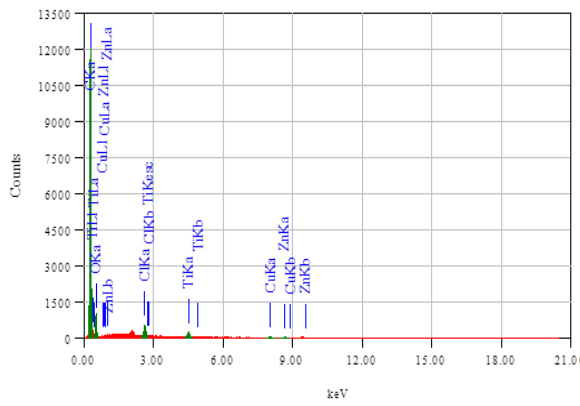
Gambar 4.7 Perbesaran morfologi SEM 4000 kali membran nilon/TiO₂-5%

Membran nilon/TiO₂-3% (Gambar 4.6) melalui SEM dengan perbesaran 4000 kali diketahui memiliki ukuran rata-rata permukaan pori yaitu 1,36 µm. Membran nilon/TiO₂-5% (Gambar 4.7) melalui SEM dengan perbesaran 4000 kali terlihat membran memiliki ukuran rata-rata permukaan pori yaitu 1,70 µm. Berdasarkan hasil ukuran rata-rata permukaan pori membran nilon/TiO₂-3% dan nilon/TiO₂-5% merupakan membran mikrofiltrasi (Hidayah, 2021).

Berdasarkan hasil SEM permukaan membran nilon/TiO₂-5% lebih besar dibandingkan membran nilon/TiO₂-3% disebabkan oleh jumlah TiO₂ yang lebih banyak. Penambahan TiO₂ yang berlebihan menyebabkan penggumpalan pada permukaan membran seperti pada gambar 4.7. Peningkatan TiO₂ menyebakan peningkatan viskositas larutan dope yang disebabkan oleh besarnya luas permukaan. Peningkatan jumlah TiO₂ mengakibatkan nilai tukar pelarut dan non pelarut menjadi lebih lambat (Kusworo et al., 2021; Qi et al., 2017).



Gambar 4.8 Analisis EDX Membran Nylon/TiO₂-3%



Gambar 4.9 Analisis EDX Membran Nylon/TiO₂-5%

Komposisi unsur dianalisis menggunakan EDX serta persebaran unsur dalam membran nilon/TiO₂-3% dan membran nilon/TiO₂-5% telah

dipetakan menggunakan SEM elemental mapping. Analisis membran nilon/TiO₂ dengan EDX untuk memastikan adanya unsur C, O, Cl dan Ti.

Berdasarkan Gambar 4.8, analisis EDX membran nilon/TiO₂-3% mengandung unsur Ti dan O 1,06% dan 17,81% massa karena jumlah TiO₂ lebih sedikit daripada membran nilon/TiO₂-5% yaitu unsur Ti dan O 1,78% dan 18,24% massa. Pada gambar 4.9, terdapat peningkatan jumlah unsur Ti 1,78%. Penambahan jumlah TiO₂ yang meningkat mengakibatkan TiO₂ beraglomerasi dan meningkatkan viskositas (Man et al., 2020).

Tabel 4.1 Kandungan unsur membran nilon/TiO₂-3%

| <u>Unsur</u> | <u>%Massa</u> | <u>%Atom</u> |
|--------------|---------------|--------------|
| C | 79,93 | 85,14 |
| O | 17,81 | 14,24 |
| Cl | 0,74 | 0,27 |
| Ti | 1,06 | 0,26 |
| Cu | 0,46 | 0,09 |

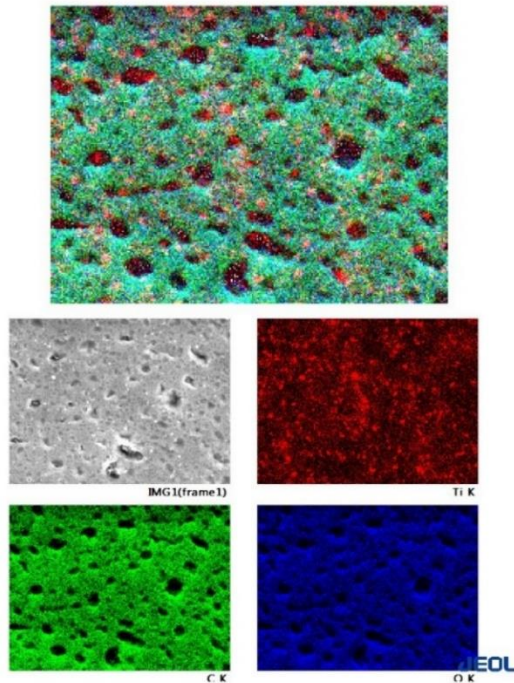
Tabel 4.2 Kandungan unsur membran nilon/TiO₂-5%

| Unsur | %Massa | %Atom |
|-------|--------|-------|
| C | 78,39 | 83,90 |
| O | 18,24 | 15,45 |
| Cl | 0,17 | 0,06 |
| Ti | 1,78 | 0,48 |
| Cu | 0,47 | 0,08 |
| Zn | 0,92 | 0,03 |

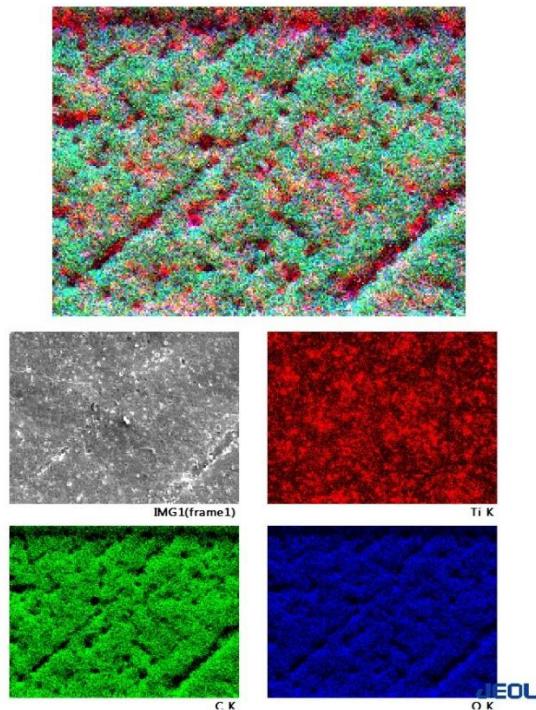
Tabel 4.1 dan 4.2 menunjukkan hasil kuantitatif SEM-EDX dari membran nilon/TiO₂-3% dan membran nilon/TiO₂-5% yang telah ditunjukkan grafiknya pada gambar 4.8 dan gambar 4.9. Analisis SEM dengan penambahan EDX menghasilkan gambar distribusi zat pengotor pada sampel (Ellingham et al., 2017). Berdasarkan tabel 4.2 membran nilon/TiO₂-3% dan membran nilon/TiO₂-5% menunjukkan adanya massa unsur Cu dan Zn pada membran nilon/TiO₂-5% sebagai zat pengotor pada membran nilon/TiO₂.

Analisis mapping EDX dilakukan untuk mengetahui sebaran material TiO₂ pada membran, berdasarkan (Gambar 4.10 dan 4.11) warna hijau

menggambarkan unsur Karbon (C), warna biru menggambarkan unsur Oksigen (O), dan warna merah menggambarkan unsur Titanium (Ti).



Gambar 4.10 Analisis distribusi penyebaran Ti pada membran nilon/TiO₂-3%



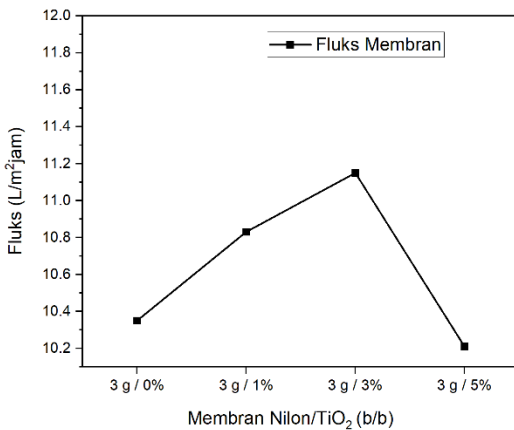
Gambar 4.11 Analisis distribusi penyebaran Ti pada membran nilon/TiO₂-5%

Gambar 4.11 menunjukkan penyebaran unsur Ti lebih merata dibandingkan gambar 4.10 namun terdapat aglomerasi, berdasarkan penelitian Anan *et al.*, (2019) distribusi Ti yang baik dengan aglomerasi yang lebih sedikit dapat meningkatkan kinerja membran.

D. Aplikasi Membran untuk Dekolorisasi Nira Tebu

1. Uji Fluks Membran

Uji fluks membran merupakan jumlah permeat yang melewati permukaan membran menggunakan tekanan 2 bar, penggunaan tekanan tersebut karena membran termasuk membran mikrofiltrasi (Hidayah, 2021). Membran dipotong melingkar dengan diameter 40 mm. Membran yang telah dipotong, diletakkan dalam alat filtrasi dengan sistem *cross flow*, lalu dialirkan aquades dahulu agar pori membran stabil. Alat filtrasi aliran *cross flow* ini digunakan untuk meminimalkan fouling pada membran (Sharma, 2020).



Gambar 4.12 Grafik pengaruh jumlah TiO₂ pada fluks membran

Hasil fluks dapat dilihat pada Gambar 4.12. Membran nilon/TiO₂-5% memiliki nilai fluks paling rendah yaitu 10,20 L/m².jam, hal ini terjadi karena membran memiliki aglomerasi TiO₂ yang dapat menimbulkan fouling pada membran sehingga menghambat aliran umpan (Man et al., 2020).

Membran nilon/TiO₂-3% memiliki fluks paling tinggi sebesar 11,15 L/m².jam. Adanya fouling pada membran juga dapat disebabkan oleh

kandungan nira tebu terdiri dari serat (10–18%) dan air (80–90%). Serat terdiri dari selulosa, hemiselulosa dan lignin, sedangkan air terdiri dari (75–82%) dan kandungan padatan terlarut (18–25%). Kandungan padatan terlarut terdiri dari non-gula (1%–2%) dan total gula pereduksi (sukrosa 14–24%, glukosa 0,2–1% dan fruktosa 0–0,5%) (da Costa et al., 2021).

2. Uji Rejeksi Membran

Uji rejeksi (selektifitas) dilakukan dengan cara melewatkkan larutan sampel nira tebu pada konsentrasi 20° brix yang dialirkan melewati modul membran *cross flow* pada tekanan 2 bar dengan waktu selama 30 menit yang disebut *permeate*. Uji rejeksi nira tebu diperlukan konsentrasi nira tebu yang terukur melalui *hand refractometer* dengan satuan brix. Brix adalah pengukuran persentase berat sukrosa dalam larutan air murni. Penunjukan derajat Brix ini hanya berlaku untuk larutan sukrosa murni.

Sukrosa murni diekstraksi dari tebu atau bit (Toledo, 2014).

Refraktometer adalah alat optik untuk mengukur kadar brix pada buah-buahan, sayuran, jus, selai, anggur, dan bir. Metode pengukuran refraktometer berdasarkan pada metode standar pengukuran indeks bias cairan. Indeks bias adalah perbandingan kecepatan cahaya di ruang hampa dengan kecepatan cahaya di medium tertentu (Dongare et al., 2015; Jaywant et al., 2022; Seki et al., 2016). Alat refraktometer memiliki prinsip dasar pembiasan atau prinsip pemantulan kritis cahaya (Jaywant et al., 2022; Ugwu et al., 2018).

Hasil rejeksi membran Nilon/TiO₂ (3gram/0%, 3gram/1%, 3gram/3%, dan 3gram/5%) pada tabel 4.3

Tabel 4.3 Koefisien Rejeksi Membran

| Derajat Brix | Sebelum Dekolorisasi | | | |
|---|----------------------|-----------|-----------|-----------|
| | Setelah Dekolorisasi | | | |
| Membran Nilon/TiO ₂ (b/b) | 3 g/0% | 3 g/1% | 3 g/3% | 3 g/5% |
| Derajat Brix | 15 | 9 | 5 | 12 |
| Nilai Rejeksi | 25 | 55 | 75 | 40 |

Berdasarkan Tabel 4.3 nilai kofisien rejeksi meningkat pada membran Nilon/TiO₂-0%, 1%, dan 3% sebesar 25%, 55%, dan 75% sedangkan pada membran nilon/TiO₂-5% nilai koefisien rejeksi menurun menjadi 40%. Penurunan koefisien rejeksi disebabkan karena diameter pori membran nilon/TiO₂-5% yang besar mengakibatkan nira tebu pada *permeate* tidak tertahan dengan baik saat melewati membran.

Hasil ini sesuai dengan penelitian Jabur *et al* (2017) dan Indriyani (2017) penurunan nilai koefisien rejeksi disebabkan oleh ukuran pori yang besar sehingga beberapa zat organik sangat kecil dapat melewati membran, sehingga sangat berpengaruh terhadap konsentrasi *permeate*.

3. Uji Dekolorisasi Nira Tebu

Berdasarkan tabel 4.4 nilai brix (padatan total terlarut) diukur menggunakan *hand refractometer*. Nilai brix terendah dihasilkan oleh membran nilon/TiO₂-3% sebesar 5°, nilai brix berhubungan

dengan koefisien rejeksi, semakin kecil nilai brix maka nilai koefisien rejeksi semakin besar.

Tabel 4.4 Uji Dekolorisasi Nira Tebu

| Ket | Sebelum Dekolorisasi | Setelah Dekolorisasi dengan Membran Nilon/TiO ₂ | | | |
|------------------|----------------------|--|----------|----------|----------|
| | | 0% | 1% | 3% | 5% |
| Brix (°) | 20 | 15 | 9 | 5 | 12 |
| Abs | 1,99 | 1,24 | 0,646 | 0,267 | 1,689 |
| pH | 4,81 | 4,83 | 5,09 | 5,80 | 4,69 |
| Warna (IU) | 9.204,65 | 7.804,92 | 6.941,80 | 5.246,58 | 8.919,10 |
| Dekolorisasi (%) | - | 15,21 | 24,58 | 43 | 3,1 |

Pengukuran absorbansi pada nira tebu sebelum dan sesudah dekolorisasi diukur dengan Spektrofotometer UV-Vis 420 nm karena pada warna larutan tersebut sesuai dengan warna komplementer kuning-hijau pada panjang gelombang 400 – 435 nm sesuai pada tabel 2.2. Warna medium ditentukan oleh panjang gelombang yang diteruskan ke mata. Warna ini dikenal sebagai warna komplementer untuk warna yang diabsorpsi. (Lusia, 2017).

Analisis warna ICUMSA (*International Commission For Uniform Methods of Sugar Analysis*) menunjukkan hasil warna IU terkecil yaitu membran nilon/TiO₂-3%) sebesar 5.246,58

IU. Analisa warna ini bertujuan untuk menentukan derajat warna dari larutan gula. Penurunan angka atau nilai warna ICUMSA Unit (IU) menunjukkan bahwa larutan gula semakin jernih sedangkan meningkatnya angka atau nilai warna ICUMSA Unit (IU) menunjukkan larutan gula semakin kuning hingga kecoklatan (Riani et al., 2019). Berdasarkan tabel 4.4 hasil IU menunjukkan angka > 4600 IU, berdasarkan teori pada tabel 2.1 warna ICUMSA > 4600 termasuk dalam gula mentah dan tidak untuk dikonsumsi.

Aplikasi dekolorisasi nira tebu menggunakan membran nilon/TiO₂ menunjukkan hasil dekolorisasi tertinggi sebesar 43% pada membran nilon/TiO₂-3% dan dekolorisasi terendah sebesar 3,1% pada membran nilon/TiO₂-5%. Nilai dekolorisasi berbanding terbalik dengan warna IU, semakin kecil nilai IU maka dekolorisasi semakin besar dan warna larutan nira tebu semakin jernih sedangkan semakin besar nilai warna IU maka nilai dekolorisasi semakin kecil dan warna larutan nira tebu berwarna kuning hingga kecoklatan

(Riani et al., 2019).

Warna kehijauan dari nira tebu berasal dari klorofil. Pigmen klorofil umum ditemukan karena nira berasal dari batang tebu yang digiling dimana batang pada tanaman tebu mengandung klorofil sehingga pigmen tersebut juga ikut terlarut dalam nira (Rahmani, 2022). Warna kuning pada nira tebu disebabkan oleh adanya pigmen karoten (Rahmani, 2022). Warna nira tebu juga akan mengalami penurunan disebabkan oleh wadah penyimpanan, lama penyimpanan, dan perubahan suhu yang tidak teratur (Ansar et al., 2019).

Berdasarkan tabel 4.4 nilai pH membran nilon/TiO₂-3% menunjukkan nilai pH sebesar 5,80 dengan hasil pH tertinggi dibandingkan hasil pH membran nilon/TiO₂-0%, 1%, dan 5%. Hasil pH nira tebu membran nilon/TiO₂-3% menunjukkan hasil nira tebu yang baik sesuai penelitian Masruri *et al* (2022) nira tebu yang baik mempunyai pH 5 sampai 7. Nira tebu yang baru diperas dari batang tebu memiliki nilai pH atau keasaman sekitar ±7, tetapi pH nira semakin menurun akibat

kondisi lingkungan dan mudah terkontaminasi oleh mikroorganisme (Masruri et al., 2022; Natawijaya et al., 2018). Nira tebu dengan pH yang rendah dikarenakan adanya mikroba *Leuconostoc mesentroides* yang menyebabkan gangguan pada nira tebu untuk industri gula.

BAB V

PENUTUP

A. Kesimpulan

1. Karakterisasi FTIR membran nilon menunjukkan puncak vibrasi ulur C-H₂ dengan puncak sedang pada 2939,62 cm⁻¹ dan vibrasi ulur dari Ti-O pada puncak 516,33 cm⁻¹ dengan modulus young terbesar pada membran nilon 3 gram sebesar 31,28 MPa. Karakterisasi FTIR membran nilon/TiO₂-1%, 3%, dan 5% dengan vibrasi ulur C-H₂ pada puncak sedang pada 2938 cm⁻¹; 2939 cm⁻¹; 2939 cm⁻¹ dan vibrasi ulur dari Ti-O muncul pada 686 cm⁻¹; 682 cm⁻¹; 680 cm⁻¹. Modulus young pada membran nilon/TiO₂-3% sebesar 36,38 MPa dengan ukuran diameter pori sebesar 1,36 µm dan kandungan unsur Ti 1,06% dan membran nilon/TiO₂-5% dengan ukuran pori 1,70 µm serta kandungan unsur Ti 1,78%.
2. Aplikasi membran untuk dekolorisasi menghasilkan uji fluks pada membran Nilon/TiO₂-3% sebesar 11,15 L/m².jam dengan nilai brix 5° dan menghasilkan nilai rejeki sebesar 75%. Hasil

dekolorisasi membran Nilon/TiO₂-0%, 1%, 3%, dan 5% yakni 15,21% ; 24,58% ; 43% ; dan 3,1%. Hasil warna nira tebu awal 9.204,65 IU dan hasil dekolorisasi nira tebu menggunakan membran Nilon/TiO₂-0%, 1%, 3%, dan 5% sebesar 7.804,92 IU ; 6.941,80 IU ; 5.246,58 IU ; 8.919,10 IU. Membran Nilon/TiO₂-3%, menunjukkan warna IU terkecil dengan hasil warna nira tebu jernih. Uji pH nira tebu setelah dekolorisasi menggunakan membran Nilon/TiO₂-0%, 1%, 3%, dan 5% menunjukkan pH berurutan 4,83 ; 5,09 ; 5,80 ; 4,69.

B. Saran

Berdasarkan hasil penelitian dan kesimpulan tersebut, maka penelitian tambahan dapat dilakukan sebagai berikut:

1. Perlu dilakukan lebih lanjut optimasi waktu pengadukan membran nilon/TiO₂.
2. Perlu dilakukan lebih lanjut aplikasi membran nilon/TiO₂ pada bahan selain nira tebu.
3. Perlu dilakukan karakterisasi SEM-EDX pada semua variasi membran nilon/TiO₂.

DAFTAR PUSTAKA

- Alifah, S. U. (2021). Efek Variasi Suhu Karbonisasi Arang Aktif Eceng Gondok Pada Pembuatan Membran Nilon-Arang Untuk Filtrasi Air. In *Digital Repository Universitas Jember* (Issue September 2019).
- Alshahrani, A. A., Al-Zoubi, H., Alotaibi, S. E., Hassan, H. M. A., Alsohaimi, I. H., Alotaibi, K. M., Alshammari, M. S., Nghiem, L., & Panhuis, M. In Het. (2022). Assessment of commercialized nylon membranes integrated with thin layer of MWCNTs for potential use in desalination process. *Journal of Materials Research and Technology*, 21, 872–883. <https://doi.org/10.1016/j.jmrt.2022.09.084>
- An, T., Pant, B., Kim, S. Y., Park, M., Park, S. J., & Kim, H. Y. (2017). Mechanical and optical properties of electrospun nylon-6,6 nanofiber reinforced cyclic butylene terephthalate composites. *Journal of Industrial and Engineering Chemistry*, 55, 35–39. <https://doi.org/10.1016/j.jiec.2017.06.044>
- Anan, N. S. M., Jaafar, J., Othman, M. H. D., Rahman, M. A., Aziz, F., & Shahrodin, N. S. M. (2019). Titanium dioxide incorporated thin film composite membrane for

- bisphenol A removal. *Malaysian Journal of Fundamental and Applied Sciences*, 15(5), 755–760.
<https://doi.org/10.11113/mjfas.v15n5.1466>
- Ansar, A., Sukmawaty, S., Muttalib, A., & Wartono, N. (2019). PENGARUH SINAR UV TERHADAP pH DAN TOTAL PADATAN TERLARUT NIRA AREN (*Arenga pinnata MERR*) SELAMA PENYIMPANAN. *Jurnal Teknik Pertanian Lampung (Journal of Agricultural Engineering)*, 8(4), 265. <https://doi.org/10.23960/jtep-l.v8i4.265-272>
- Apipah, E. R., Irmansyah, & Juansah, J. (2014). Sintesis dan Karakteristik Membran Nilon yang Berasal dari Limbah Benang. *Jurnal Biofisika*, 10(1), 8–18.
- Auline, D., Qomariah, N., & Saleh, A. (2018). Pembuatan Membran Komposit Nilon-Karbon Aktif Dengan Variasi Suhu Dan Waktu Pengadukan. *Jurnal Teknik Kimia*, 24(3), 65–70.
- Aykas, D. P., Urtubia, A., Wong, K., Ren, L., López-Lira, C., & Rodriguez-Saona, L. E. (2022). Screening of Acrylamide of Par-Fried Frozen French Fries Using Portable FT-IR Spectroscopy. *Molecules*, 27(4), 1–12. <https://doi.org/10.3390/molecules27041161>
- da Costa, M. V. A., Fontes, C. H., Carvalho, G., & Júnior, E. C. de

- M. (2021). UltraBrix: A device for measuring the soluble solids content in sugarcane. *Sustainability (Switzerland)*, 13(3), 1–19. <https://doi.org/10.3390/su13031227>
- Deswardani, F., Fahyuan, H. D., & Afrianto, M. F. (2020). ANALISIS GUGUS FUNGSI PADA TiO₂ /BIOCHAR DENGAN SPEKTROSKOPI. *JoP*, 5(2), 54–58.
- Dongare, M. L., Buchade, P. B., & Shaligram, A. D. (2015). Refractive index based optical Brix measurement technique with equilateral angle prism for sugar and Allied Industries. *Optik*, 126(20), 2383–2385. <https://doi.org/10.1016/j.ijleo.2015.05.137>
- Ellingham, S. T. D., Thompson, T. J. U., & Islam, M. (2017). Scanning Electron Microscopy–Energy-Dispersive X-Ray (SEM/EDX): A Rapid Diagnostic Tool to Aid the Identification of Burnt Bone and Contested Cremains. *Journal of Forensic Sciences*, 63(2), 504–510. <https://doi.org/10.1111/1556-4029.13541>
- Fathanah, U., & Meilina, H. (2021). Karakterisasi dan Kinerja Membran Polyethersulfone Termodifikasi Aditif Anorganik secara Blending Polimer. *Jurnal Serambi Engineering*, 6(4), 2407–2414. <https://doi.org/10.32672/jse.v6i4.3515>

- Firmansyah, & Astuti. (2013). Nanokomposit Epoxy-Titanium Dioksida. *Jurnal Fisika Unand*, 2(2), 72–80.
- Goldstein, J. I., & Newbury, D. E. (2017). Scanning Electron Microscopy and Microanalysis. In *Springer Science*. https://doi.org/10.1007/978-1-4684-2046-3_11
- Hamzah, M., Anggaravidya, M., Ulfa, I. M., Mayasari, R. D., Habibie, S., & Astuti, D. (2020). Pemanfaatan Kitosan Dalam Peningkatan Mutu Nira Gula Tebu. *CAKRA KIMIA (Indonesian E-Journal of Applied Chemistry)*, 8(1), 1–8. <https://ojs.unud.ac.id/index.php/cakra/article/view/62789/35940>
- Hidayah, M. (2021). *Modification of Surface Hollow Fiber Membrane Ultrafiltration for Processing Produced Water*. *Icest* 2018, 251–257. <https://doi.org/10.5220/0010041302510257>
- Indriyani, V., Novianty, Y., & Mirwan, A. (2017). Pembuatan Membran Ultrafiltrasi Dari Polimer Selulosa Asetat Dengan Metode Inversi Fasa. *Konversi*, 6(1), 11. <https://doi.org/10.20527/k.v6i1.2994>
- Ines, M.-G., Baklouti, S., Mokni, A., Danthine, S., Attia, H., Blecker, C., Besbes, S., & Masmoudi, M. (2016). Effect of ultrafiltration process on physico-chemical, rheological,

microstructure and thermal properties of syrups from male and female date palm saps. *Food Chemistry*, 203, 175–182.

<https://doi.org/10.1016/j.foodchem.2016.02.055>

Ishaq, A. bin M. bin A. bin. (2013). *Tafsir Ibnu Katsir 8.1.pdf* (p. 570).

Isrofiyah, B. I. (2018). Pengaruh Variasi Fraksi Massa Nilon Dan TiO₂ Terhadap Efek Antibakteri Dan Permeabilitas Pada Membran Hibrid. In *Digital Repository Universitas Jember Digital Repository Universitas Jember PENGARUH*.

Jabur, A., Abbas, L., & Moosa, S. (2017). Functionalized Titanium Dioxide Nanoparticles - Nylon 6 Nanocomposite Membrane for Improved Salt Rejection Under Low Pressure Water Nanofiltration. *The Iraqi Journal For Mechanical And Material Engineering*, 17(3), 408–421.

Jamshidi, R. G., Halakoo, E., Nazri, N. A. M., Lau, W. J., Matsuura, T., & Ismail, A. F. (2014). Improving performance and antifouling capability of PES UF membranes via blending with highly hydrophilic hydrous manganese dioxide nanoparticles. *Desalination*, 335(1), 87–95.
<https://doi.org/10.1016/j.desal.2013.12.011>

- Jasni, M. J. F., Sathishkumar, P., Sornambikai, S., Yusoff, A. R. M., Ameen, F., Buang, N. A., Kadir, M. R. A., & Yusop, Z. (2017). Fabrication, characterization and application of laccase-nylon 6,6/Fe³⁺ composite nanofibrous membrane for 3,3"-dimethoxybenzidine detoxification. *Bioprocess and Biosystems Engineering*, 40(2), 191–200. <https://doi.org/10.1007/s00449-016-1686-6>
- Jaywant, S. A., Singh, H., & Arif, K. M. (2022). Sensors and Instruments for Brix Measurement: A Review. *Sensors*, 22(6), 1–20. <https://doi.org/10.3390/s22062290>
- Kaur, M., & Verma, N. K. (2014). CaCO₃/TiO₂ nanoparticles based dye sensitized solar cell. *Journal of Materials Science and Technology*, 30(4), 328–334. <https://doi.org/10.1016/j.jmst.2013.10.016>
- Khori, N. K. E. M., Salmiati, Hadibarata, T., & Yusop, Z. (2020). A combination of waste biomass activated carbon and nylon nanofiber for removal of triclosan from aqueous solutions. *Journal of Environmental Treatment Techniques*, 8(3), 1036–1045. [https://doi.org/10.47277/jett-8\(3\)1](https://doi.org/10.47277/jett-8(3)1)
- Kurniawan, T., Jayanudin, J., Kustininghsih, I., & Adha Firdaus, M. (2018). Palm Sap Sources, Characteristics, and

- Utilization in Indonesia. *Journal of Food and Nutrition Research*, 6(9), 590–596. <https://doi.org/10.12691/jfnr-6-9-8>
- Kusworo, T., Nugraheni, R. E., & Aryanti, N. (2021). The Effect of Membrane Modification Using TiO₂, ZnO, and GO Nanoparticles: Challenges and Future Direction in Wastewater Treatment. *IOP Conference Series: Materials Science and Engineering*, 1053(1), 012135. <https://doi.org/10.1088/1757-899x/1053/1/012135>
- Lestari, K. R. (2020). *Teori Dasar Membran* (Vol. 1). LP_UNAS.
- Listanti, A., Taufiq, A., Hidayat, A., & Sunaryono, S. (2018). Investigasi Struktur dan Energi Band Gap Partikel Nano TiO₂ Hasil Sintesis Menggunakan Metode Sol-Gel. *JPSE (Journal of Physical Science and Engineering)*, 3(1), 8–15. <https://doi.org/10.17977/um024v3i12018p008>
- Lusia, E. P. (2017). Penentuan Konsentrasi Senyawa Berwarna KMnO₄ Dengan Metoda Spektroskopi UV Visible. *Natural Science Journal*, 3(1), 391–398.
- Luthfi, J. K., Fariati, & Simping, Y. (2019). Dekolorisasi Dan Demineralisasi Nira Tebu Menggunakan Resin Penukar Ion (Amberlite Ir-120 Na Dan Amberlite Ira-96 Rf). *Seminar Nasional Kimia Dan Pembelajarannya (SNKP)*, 1,

- 225–232.
- Makur, M. M., Duraisamy, R., & Birhanu, T. (2019). Clarifying Capacity of Eco-Friendly Nano Cao and Okra(*Abelmoschus Esculentus*) Extract on the Processing of Sugarcane Juice: A Review. *International Research Journal of Science and Technology*, 1(1), 21–30.
<https://doi.org/10.46378/irjst.2019.010104>
- Man, H. C., Abba, M. U., Abdulsalam, M., Azis, S., Idris, A. I., & Hamzah, M. H. (2020). *Utilization of Nano-TiO₂ as an Influential Additive for Complementing Separation Performance of a Hybrid PVDF-PVP Hollow Fiber : Boron Removal from Leachate*.
- Maqsood, K., Jamil, A., Ahmed, A., Sutisna, B., Nunes, S., & Ulbricht, M. (2023). Effect of TiO₂ on Thermal, Mechanical, and Gas Separation Performances of Polyetherimide–Polyvinyl Acetate Blend Membranes. *Membranes*, 13(8).
<https://doi.org/10.3390/membranes13080734>
- Masruri, H. A., Syauqy, D., & Prasetio, B. H. (2022). Klasifikasi Kualitas Air Tebu berdasarkan PH dan Warna menggunakan Metode Jaringan Syaraf Tiruan berbasis Arduino. ... *Informasi Dan Ilmu Komputer E-ISSN*, 6(6),

- 2791–2798. <https://j-ptiik.ub.ac.id/index.php/j-ptiik/article/view/11178>
- Masta, N. (2020). Buku Materi Pembelajaran Scanning Electron Microscopy. In *Patra Widya: Seri Penerbitan Penelitian Sejarah dan Budaya*.
- Mataram, A., Anisya, N., Nadiyah, N. A., & Afriansyah. (2020). Fabrication membrane of titanium dioxide (TiO_2) blended polyethersulfone (pes) and polyvinilidene fluoride (pvdf): Characterization, mechanical properties and water treatment. *Key Engineering Materials*, 867 KEM, 159–165. <https://doi.org/10.4028/www.scientific.net/KEM.867.159>
- Maulina, W. (2019). Uji Aktivitas Antibakteri dan Permeabilitas Membran Hibrid Nilon-TiO₂. *Jurnal Fisika Dan Aplikasinya*, 15(3), 81. <https://doi.org/10.12962/j24604682.v15i3.4625>
- Maulina, W., Fauzia, I. K., & Misto, M. (2018). Kajian Membran Nilon Sebagai Filter Pada Proses Penjernihan Nira Tebu. *Spektra: Jurnal Fisika Dan Aplikasinya*, 3(1), 57–66. <https://doi.org/10.21009/spektra.031.08>
- Mumtahana, L. (2019). Karaktersasi FTIR dan Membran

- Hibrid Nilon/Tio2. *Skripsi*, 1–29.
- Natawijaya, D., Suhartono, S., & Undang, U. (2018). The analysis of Sap Water Yield and Palm Sugar (*Arenga pinnata* Merr.) Quality in Tasikmalaya District. *Jurnal Agroforestri Indonesia*, 1(1), 57–64.
<https://doi.org/10.20886/jai.2018.1.1.57-64>
- Ngobeni, R., Sadare, O., & Daramola, M. O. (2021). Synthesis and evaluation of hsod/psf and ssod/psf membranes for removal of phenol from industrial wastewater. *Polymers*, 13(8). <https://doi.org/10.3390/polym13081253>
- Nie, C., Ma, L., Xia, Y., He, C., Deng, J., Wang, L., Cheng, C., Sun, S., & Zhao, C. (2015). Novel heparin-mimicking polymer brush grafted carbon nanotube/PES composite membranes for safe and efficient blood purification. *Journal of Membrane Science*, 475, 455–468.
<https://doi.org/10.1016/j.memsci.2014.11.005>
- Panigrahi, C., Shaikh, A. E. Y., Bag, B. B., Mishra, H. N., & De, S. (2021). A technological review on processing of sugarcane juice: Spoilage, preservation, storage, and packaging aspects. *Journal of Food Process Engineering*, 44(6), 1–19. <https://doi.org/10.1111/jfpe.13706>
- Picollo, M., Aceto, M., & Vitorino, T. (2019). UV-Vis

- spectroscopy. *Physical Sciences Reviews*, 4(4), 1–14.
<https://doi.org/10.1515/psr-2018-0008>
- Qayyim, I., Qadir, A., & Syu'aib. (2016). *Zadul Ma'ad Jilid 5*.
- Qi, B., Wu, Y., Guo, S., Luo, J., & Wan, Y. (2017). Refinement of cane molasses with membrane technology for clarification and color removal. *Journal of Membrane Science and Research*, 3(4), 303–307.
<https://doi.org/10.22079/jmsr.2017.60224.1128>
- Rafik, M., Qabli, H., Belhamidi, S., Elhannouni, F., Elkhedmaoui, A., & Elmidaoui, A. (2015). Membrane separation in the sugar industry. *Journal of Chemical and Pharmaceutical Research*, 7(9), 653–658.
<https://www.scopus.com/inward/record.uri?eid=2-s2.0-84979473439&partnerID=40&md5=71685980001b4c817ea673fcd0900e31>
- Rahmani, S. D. (2022). Tingkat Konsumsi Nira Tebu Dan Pengaruhnya Terhadap Kadar Sukrosa Madu Trigona biroi Di Kampung Rimba Fakultas Kehutanan Universitas Hasanuddin. In *repositoryunhas.ac.id*.
- Riani, P., & Gultom, D. T. (2019). Penentuan Nilai Colour Gula Produk pada Unit Lump Separator dengan Menggunakan

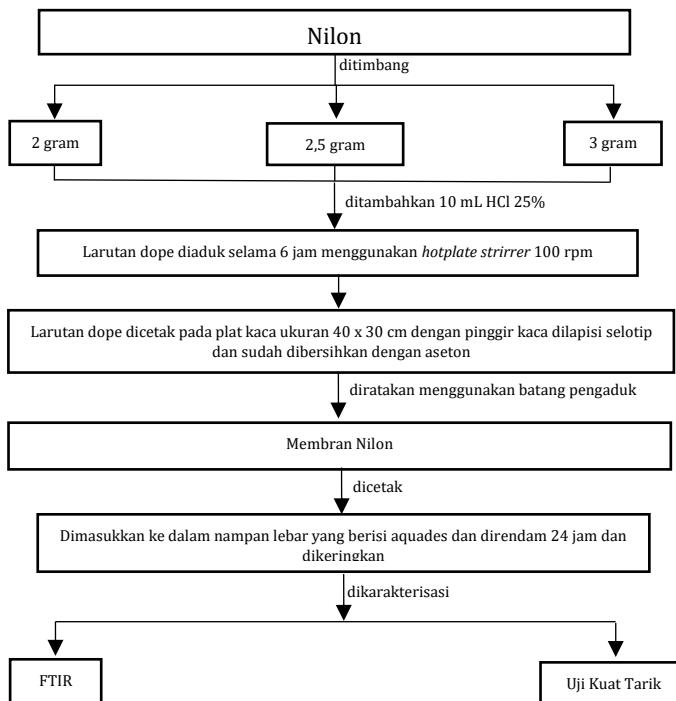
- Spektrofotometer Visible dan Refraktometer. *Majalah Ilmiah Teknologi Industri (SAINTI)*, 16(2), 151–155.
- Sahat, S. F. (2017). Peluang Ekspor Gula Semut. *Kementerian Perdagangan Republik Indonesia*, 1–20. <http://djpen.kemendag.go.id>
- Seki, A., Narita, K., & Watanabe, K. (2016). Refractive Index Measurement in Sucrose Solution and Beverage Using Surface Plasmon Resonance Sensor Based on Heterocore Structured Fiber Optic. *Procedia Chemistry*, 20, 115–117. <https://doi.org/10.1016/j.proche.2016.07.020>
- Sharma, E. (2020). *Design and Optimization of Ultrafiltration Membrane Setup for Wastewater Treatment and Reuse*. <https://urn.kb.se/resolve?urn=urn:nbn:se:kth:diva-277640>
- Sinuhaji, N. (2017). Analisis Pengolahan Tebu Menjadi Gula Kristal Putih Menggunakan Metode Fuzzy Logic Berbasis Matlab. *Majalah Ilmiah Politeknik Mandiri Bina Prestasi*, 6(2), 230–239. <http://jurnal.fp.unila.ac.id/index.php/JIA/article/view/558>
- Suprihatin. (2007). Penjernihan Nira Tebu Menggunakan Membran Ultrafiltrasi Dengan Sistem Aliran Silang.

- Jurnal Ilmu Pertanian Indonesia*, 12(02), 93–99.
- Syahputra, K. Y., Hidayah, M., & Bahiyyah, W. (2023). *Indonesian Journal of Chemical Science Utilization of Nylon-Based Eggshell Waste in the Making of Microfiltration Membranes for Reducing Metal Fe 3 +*. 12(2).
- Toledo, M. (2014). Brix - Sugar determination by density and refractometry. *Density and Refractometry*, 1–8. https://beta-static.fishersci.com/content/dam/fishersci/en_US/documents/programs/scientific/technical-documents/technical-bulletins/mettler-toledo-brix-sugar-determination-technical-bulletin.pdf
- Ugwu, K. C., Mbajorgu, C. C., Okonkwo, W. I., & Ani, A. O. (2018). Design, fabrication and performance evaluation of a portable hand-held refractometer. *Nigerian Journal of Technology*, 37(2), 537. <https://doi.org/10.4314/njt.v37i2.33>
- Ural, N. (2021). The significance of scanning electron microscopy (SEM) analysis on the microstructure of improved clay: An overview. *Open Geosciences*, 13(1), 197–218. <https://doi.org/10.1515/geo-2020-0145>

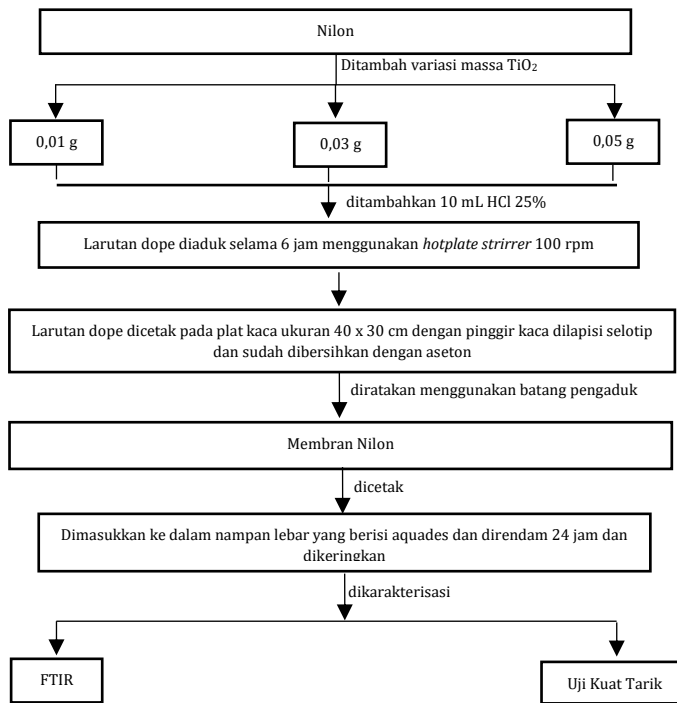
- Vetrivel, V., Rajendran, K., & Kalaiselvi, V. (2015). Synthesis and characterization of pure titanium dioxide nanoparticles by sol- gel method. *International Journal of ChemTech Research*, 7(3), 1090–1097.
- Wang, K., Abdala, A. A., Hilal, N., & Khraisheh, M. K. (2017). Mechanical Characterization of Membranes. In *Membrane Characterization*. Elsevier B.V. <https://doi.org/10.1016/B978-0-444-63776-5.00013-9>
- Widiaswanti, E. (2014). Penggunaan Metode Statistical Quality Control (SQC) untuk Pengendalian Kualitas Produk. *Industri Inovatif: Jurnal Teknik Industri*, 4(2), 6–12. <https://ejournal.itn.ac.id/index.php/industri/article/view/1196>

LAMPIRAN

Lampiran 1 Sintesis Membran Nilon



Lampiran 2 Sintesis Membran nilon/TiO₂



Lampiran 3 Analisis Data

A. Pengenceran Asam Klorida (HCl) 25%

Konsentrasi HCl pekat : 37%

Rumus:

$$M_1 V_1 = M_2 V_2$$

$$37\% V_1 = 25\% \times 100 \text{ mL}$$

$$V_1 = \frac{2500 \text{ mL}}{37}$$

$$V_1 = 67,57 \text{ mL}$$

B. Sintesis Membran

1. Membran Nilon

Rumus Konsentrasi Membran

$$\% \frac{b}{v} = \frac{(\text{massa Nilon})}{(\text{volume HCl})} \times 100\%$$

- Membran Nilon 2 gram

$$\% \frac{b}{v} = \frac{2 \text{ gram}}{10 \text{ mL}} \times 100\% = 20\%$$

- Membran Nilon 2,5 gram

$$\% \frac{b}{v} = \frac{2,5 \text{ gram}}{10 \text{ mL}} \times 100\% = 25\%$$

- Membran Nilon 3 gram

$$\% \frac{b}{v} = \frac{3 \text{ gram}}{10 \text{ mL}} \times 100\% = 30\%$$

2. Membran Nilon/TiO₂

Rumus

$$\% \frac{b}{v} = \frac{(massa Nilon) + (massa TiO_2)}{(volume HCl)} \times 100\%$$

- Membran Nilon/TiO₂ (3 gram/0%)

$$\% \frac{b}{v} = \frac{3 \text{ gram} + 0 \text{ gram}}{10 \text{ mL}} \times 100\% = 30\%$$

- Membran Nilon/TiO₂ (3 gram/1%)

$$\% \frac{b}{v} = \frac{3 \text{ gram} + 0,01 \text{ gram}}{10 \text{ mL}} \times 100\% = 30,1\%$$

- Membran Nilon/TiO₂ (3 gram/3%)

$$\% \frac{b}{v} = \frac{3 \text{ gram} + 0,03 \text{ gram}}{10 \text{ mL}} \times 100\% = 30,3\%$$

- Membran Nilon/TiO₂ (3 gram/5%)

$$\% \frac{b}{v} = \frac{3 \text{ gram} + 0,05 \text{ gram}}{10 \text{ mL}} \times 100\% = 30,5\%$$

C. Nilai Kuat Tarik

1. Modulus Young Membran Nilon

| Membran Nilon (%) | Tegangan (Mpa) | Regangan |
|-------------------|----------------|----------|
| 20 | 3,69 | 0,25 |
| 25 | 4,06 | 0,17 |
| 30 | 6,26 | 0,20 |

Rumus

$$Y = \frac{\text{Tegangan}}{\text{Regangan}}$$

- Membran Nilon 2 gram

$$Y = \frac{3,69}{0,25} = 14,76 \text{ MPa}$$

- Membran Nilon 2,5 gram

$$Y = \frac{4,06}{0,17} = 23,88 \text{ MPa}$$

- Membran Nilon 3 gram

$$Y = \frac{6,26}{0,20} = 31,30 \text{ MPa}$$

2. Modulus Young Membran Nilon dan Nilon/TiO₂

| Membran | Tegangan (Mpa) | Regangan | |
|----------------|-------------------|----------|-------|
| (3 gram/0%) | 6,26 | 0,20 | 31,28 |
| (3 gram/1%) | 4,03 | 0,124 | 32,5 |
| (3 gram/3%) | 4,73 | 0,13 | 36,38 |
| (3 gram/5%) | 3,25 | 0,23 | 14,13 |

Rumus

$$Y = \frac{Tegangan}{Regangan}$$

- Membran (3 gram/0%)

$$Y = \frac{6,26}{0,20} = 31,28 \text{ MPa}$$

- Membran (3 gram/1%)

$$Y = \frac{4,03}{0,124} = 32,5 \text{ MPa}$$

- Membran (3 gram/3%)

$$Y = \frac{4,73}{0,13} = 36,38 \text{ MPa}$$

- Membran (3 gram/5%)

$$Y = \frac{3,25}{0,23} = 14,13 \text{ MPa}$$

D. Nilai Fluks Membran Nilon dan Membran Nilon/TiO₂

Rumus Fluks Membran

$$J = \frac{V}{A \cdot t}$$

Diketahui: Diameter membran 4cm = 0,04 m

Ditanya: Luas Membran?

Jawab:

$$L = \frac{1}{4} \pi d^2$$

$$L = \frac{1}{4} 3,14 (0,04)^2 = 1,256 \times 10^{-3} \text{ m}^2$$

Data Fluks Sari Tebu

| Membran Nilon/TiO ₂ | Volume (L) | Luas (m ²) | Waktu (Jam) |
|--------------------------------|----------------------|------------------------|-------------|
| (3 gram/0%) | $6,5 \times 10^{-3}$ | $1,256 \times 10^{-3}$ | 0,5 |
| (3 gram/1%) | $6,8 \times 10^{-3}$ | $1,256 \times 10^{-3}$ | 0,5 |
| (3 gram/3%) | 7×10^{-3} | $1,256 \times 10^{-3}$ | 0,5 |
| (3 gram/5%) | $7,6 \times 10^{-3}$ | $1,256 \times 10^{-3}$ | 0,5 |

- Membran (3 gram/0%)

$$J = \frac{6,5 \times 10^{-3}}{(1,256 \times 10^{-3} \cdot 0,5)} = 10,35 \text{ } L/m^2\text{jam}$$

- Membran (3 gram/1%)

$$J = \frac{6,8 \times 10^{-3}}{(1,256 \times 10^{-3} \cdot 0,5)} = 10,83 \text{ } L/m^2\text{jam}$$

- Membran (3 gram/3%)

$$J = \frac{7 \times 10^{-3}}{(1,256 \times 10^{-3} \cdot 0,5)} = 11,15 \text{ } L/m^2\text{jam}$$

- Membran (3 gram/5%)

$$J = \frac{6,4 \times 10^{-3}}{(1,256 \times 10^{-3} \cdot 0,5)} = 10,20 \text{ } L/m^2\text{jam}$$

E. Nilai %Rejeksi Membran Nilon dan Membran Nilon/TiO₂

Data Konsentrasi Brix Nira Tebu

| Sebelum Dekolorisasi | | | | |
|--------------------------------------|--------|--------|--------|--------|
| Derajat Brix | 20 | | | |
| Setelah Dekolorisasi | | | | |
| Membran Nilon/TiO ₂ (b/b) | 3 g/0% | 3 g/1% | 3 g/3% | 3 g/5% |
| Derajat Brix | 15 | 9 | 5 | 12 |
| Nilai Rejeksi | 25 | 55 | 75 | 40 |

Rumus Koefisien Rejeksi

$$R = \left(1 - \frac{c_p}{c_f}\right) \times 100\%$$

- Membran Nilon/TiO₂ (b/b) (3 gram/0%)

$$R = \left(1 - \frac{15}{20}\right) \times 100\% = 25\%$$

- Membran Nilon/TiO₂ (b/b) (3 gram/1%)

$$R = \left(1 - \frac{9}{20}\right) \times 100\% = 55\%$$

- Membran Nilon/TiO₂ (b/b) (3 gram/3%)

$$R = \left(1 - \frac{5}{20}\right) \times 100\% = 75\%$$

- Membran Nilon/TiO₂ (b/b) (3 gram/5%)

$$R = \left(1 - \frac{12}{20}\right) \times 100\% = 40\%$$

F. Nilai ICUMSA

| Sebelum Dekolorisasi | | Setelah Dekolorisasi dengan Membran Nilon/TiO ₂ | | | |
|----------------------|---------|--|---------|---------|---------|
| | | 0% | 1% | 3% | 5% |
| Brix (°) | 20 | 15 | 9 | 5 | 12 |
| Absorb ansi | 1,99 | 1,24 | 0,646 | 0,267 | 1,689 |
| pH | 4,81 | 4,83 | 5,09 | 5,80 | 4,69 |
| Warna (IU) | 9.204,6 | 7.804,9 | 6.941,8 | 5.246,5 | 8.919,1 |
| Dekolorisasi (%) | 15,21 | 24,58 | 43 | 3,1 | |

Rumus ICUMSA

$$\text{Warna larutan Sampel} = \frac{10^8 \times A_s}{b \times brix^\circ \times \rho}$$

1. Sampel Nira Tebu Sebelum Filtrasi

$$ICUMSA = \frac{10^8 \times 1,99}{1 \times 20 \times 1080,976} = 9.204,65 \text{ IU}$$

2. Sampel Nira Tebu Setelah Filtrasi Membran

- Membran Nilon/TiO₂ (b/b) (3 gram/0%)

$$ICUMSA = \frac{10^8 \times 1,24}{1 \times 15 \times 1059,161} = 7.804,92 \text{ IU}$$

- Membran Nilon/TiO₂ (b/b) (3 gram/1%)

$$ICUMSA = \frac{10^8 \times 0,646}{1 \times 9 \times 1033,994} = 6.941,80 \text{ IU}$$

- Membran Nilon/TiO₂ (b/b) (3 gram/3%)

$$ICUMSA = \frac{10^8 \times 0,267}{1 \times 5 \times 1017,805} = 5.246,58 \text{ IU}$$

- Membran Nilon/TiO₂ (b/b) (3 gram/5%)

$$ICUMSA = \frac{10^8 \times 1,12}{1 \times 12 \times 1046,443} = 8.919,10 \text{ IU}$$

G. Nilai %Dekolorisasi

Perhitungan persentase dekolorisasi menggunakan persamaan sebagai berikut:

$$\% \text{Dekolorisasi} = \frac{\text{Warna sebelum dekolorisasi} - \text{Warna sesudah dekolorisasi}}{\text{Warna sebelum dekolorisasi}} \times 100\%$$

- Membran Nilon/TiO₂ (b/b) (3 gram/0%)

$$\% \text{Dekolorisasi} = \frac{9.204,65 \text{ IU} - 7.804,92 \text{ IU}}{9.204,65 \text{ IU}} \times 100\% = 15,21\%$$

- Membran Nilon/TiO₂ (b/b) (3 gram/1%)

$$\% \text{Dekolorisasi} = \frac{9.204,65 \text{ IU} - 6.941,80 \text{ IU}}{9.204,65 \text{ IU}} \times 100\% = 24,58\%$$

- Membran Nilon/TiO₂ (b/b) (3 gram/3%)

$$\% \text{Dekolorisasi} = \frac{9.204,65 \text{ IU} - 5.246,58 \text{ IU}}{9.204,65 \text{ IU}} \times 100\% = 43\%$$

- Membran Nilon/TiO₂ (b/b) (3 gram/5%)

$$\% \text{Dekolorisasi} = \frac{9.204,65 \text{ IU} - 8.919,10 \text{ IU}}{9.204,65 \text{ IU}} \times 100\% = 3,10\%$$

Tabel Persentase Dekolorisasi

| Sebelum Dekolorisasi (IU) | | |
|---------------------------|---------------------------|---------------|
| Nira Tebu | Setelah Dekolorisasi (IU) | %Dekolorisasi |
| (3 gram/0%) | 7.804,92 | 15,21% |
| (3 gram/1%) | 6.941,80 | 24,58% |
| (3 gram/3%) | 5.246,58 | 43% |
| (3 gram/5%) | 8.919,10 | 3,1% |

Lampiran 4 Tabel Hubungan Massa Jenis dengan °Brix Nira Tebu

| w % | ρ kg/m ³ | m_w/V kg/m ³ | c g/cm ³ | w % | ρ kg/m ³ | m_w/V kg/m ³ | c g/cm ³ | w % | ρ kg/m ³ | m_w/V kg/m ³ | c g/cm ³ |
|--------|-----------------------------|------------------------------|------------------------|--------|-----------------------------|------------------------------|------------------------|--------|-----------------------------|------------------------------|------------------------|
| 0.0 | 998.203 | 997.153 | 0.000000 | 5.0 | 1017.805 | 1016.757 | 0.050890 | 10.0 | 1038.114 | 1037.070 | 0.103811 |
| 0.1 | 998.588 | 997.538 | 0.000999 | 5.1 | 1018.204 | 1017.157 | 0.051928 | -10.1 | 1038.528 | 1037.483 | 0.104891 |
| 0.2 | 998.974 | 997.924 | 0.001998 | 5.2 | 1018.604 | 1017.556 | 0.052967 | 10.2 | 1038.942 | 1037.897 | 0.105972 |
| 0.3 | 999.360 | 998.310 | 0.002998 | 5.3 | 1019.003 | 1017.956 | 0.054007 | -10.3 | 1039.356 | 1038.312 | 0.107054 |
| 0.4 | 999.746 | 998.694 | 0.003999 | 5.4 | 1019.403 | 1018.356 | 0.055048 | 10.4 | 1039.770 | -1038.726 | 0.108136 |
| 0.5 | 1000.132 | 999.082 | 0.005001 | 5.5 | 1019.804 | 1018.756 | 0.056089 | 10.5 | 1040.185 | 1039.141 | 0.109219 |
| 0.6 | 1000.519 | 999.469 | 0.006003 | 5.6 | 1020.204 | 1019.157 | 0.057131 | 10.6 | 1040.600 | 1039.556 | 0.110304 |
| 0.7 | 1000.906 | 999.856 | 0.007006 | 5.7 | 1020.602 | 1019.558 | 0.058174 | 10.7 | 1041.016 | 1039.972 | 0.111389 |
| 0.8 | 1001.293 | 1000.243 | 0.008010 | 5.8 | 1021.006 | 1019.959 | 0.059218 | 10.8 | 1041.431 | 1040.387 | 0.112475 |
| 0.9 | 1001.681 | 1000.631 | 0.009015 | 5.9 | 1021.408 | 1020.361 | 0.060263 | 10.9 | 1041.847 | 1040.804 | 0.113561 |
| 1.0 | 1002.068 | 1001.018 | 0.010021 | 6.0 | 1021.809 | 1020.762 | 0.061309 | 11.0 | 1042.264 | 1041.220 | 0.114649 |
| 1.1 | 1002.456 | 1001.407 | 0.011027 | 6.1 | 1022.211 | 1021.164 | 0.062355 | 11.1 | 1042.680 | 1041.636 | 0.115738 |
| 1.2 | 1002.845 | 1001.795 | 0.012034 | 6.2 | 1022.614 | 1021.567 | 0.063402 | 11.2 | 1043.097 | 1042.053 | 0.116827 |
| 1.3 | 1003.233 | 1002.184 | 0.013042 | 6.3 | 1023.016 | 1021.969 | 0.064455 | 11.3 | 1043.514 | 1042.471 | 0.117917 |
| 1.4 | 1003.622 | 1002.572 | 0.014051 | 6.4 | 1023.419 | 1022.372 | 0.065499 | 11.4 | 1043.932 | 1042.888 | 0.119008 |
| 1.5 | 1004.011 | 1002.962 | 0.015061 | 6.5 | 1023.822 | 1022.775 | 0.066548 | 11.5 | 1044.330 | 1043.306 | 0.120100 |
| 1.6 | 1004.401 | 1003.351 | 0.016070 | 6.6 | 1024.226 | 1023.179 | 0.067599 | 11.6 | 1044.768 | 1043.724 | 0.121193 |
| 1.7 | 1004.790 | 1003.741 | 0.017081 | 6.7 | 1024.629 | 1023.583 | 0.068650 | 11.7 | 1045.186 | 1044.143 | 0.122287 |
| 1.8 | 1005.180 | 1004.131 | 0.018093 | 6.8 | 1025.033 | 1023.987 | 0.069702 | 11.8 | 1045.605 | 1044.561 | 0.123381 |
| 1.9 | 1005.570 | 1004.521 | 0.019106 | 6.9 | 1025.438 | 1024.391 | 0.070755 | 11.9 | 1046.024 | 1044.980 | 0.124477 |
| 2.0 | 1005.961 | 1004.912 | 0.020119 | 7.0 | 1025.842 | 1024.796 | 0.071809 | 12.0 | 1046.443 | 1045.400 | 0.125573 |
| 2.1 | 1006.352 | 1005.302 | 0.021133 | 7.1 | 1026.247 | 1025.201 | 0.072864 | 12.1 | 1046.862 | 1045.819 | 0.126670 |
| 2.2 | 1006.743 | 1005.693 | 0.022148 | 7.2 | 1026.652 | 1025.606 | 0.073791 | 12.2 | 1047.282 | 1046.239 | 0.127768 |
| 2.3 | 1007.134 | 1006.085 | 0.023164 | 7.3 | 1027.058 | 1026.011 | 0.074795 | 12.3 | 1047.702 | 1046.659 | 0.128667 |
| 2.4 | 1007.526 | 1006.477 | 0.024181 | 7.4 | 1027.463 | 1026.417 | 0.076032 | 12.4 | 1048.123 | 1047.080 | 0.129967 |
| 2.5 | 1007.917 | 1006.868 | 0.025198 | 7.5 | 1027.869 | 1026.823 | 0.077090 | 12.5 | 1048.544 | 1047.501 | 0.131068 |
| 2.6 | 1008.310 | 1007.261 | 0.026216 | 7.6 | 1028.276 | 1027.230 | 0.078149 | 12.6 | 1048.965 | 1047.922 | 0.132170 |
| 2.7 | 1008.702 | 1007.653 | 0.027235 | 7.7 | 1028.682 | 1027.636 | 0.079209 | 12.7 | 1049.386 | 1048.343 | 0.133272 |
| 2.8 | 1009.095 | 1008.046 | 0.028255 | 7.8 | 1029.089 | 1028.043 | 0.080269 | 12.8 | 1049.808 | 1048.765 | 0.134375 |
| 2.9 | 1009.488 | 1008.439 | 0.029275 | 7.9 | 1029.496 | 1028.451 | 0.081330 | 12.9 | 1050.230 | 1049.187 | 0.135480 |
| 3.0 | 1009.881 | 1008.832 | 0.030296 | 8.0 | 1029.904 | 1028.858 | 0.082392 | 13.0 | 1050.652 | 1049.609 | 0.136585 |
| 3.1 | 1010.274 | 1009.226 | 0.031319 | 8.1 | 1030.311 | 1029.266 | 0.083455 | 13.1 | 1051.075 | 1050.032 | 0.137691 |
| 3.2 | 1010.665 | 1009.620 | 0.032341 | 8.2 | 1030.720 | 1029.674 | 0.084519 | 13.2 | 1051.497 | 1050.455 | 0.138798 |
| 3.3 | 1011.062 | 1010.014 | 0.033365 | 8.3 | 1031.128 | 1030.082 | 0.085584 | 13.3 | 1051.921 | 1050.878 | 0.139905 |
| 3.4 | 1011.457 | 1010.408 | 0.034399 | 8.4 | 1031.536 | 1030.491 | 0.086649 | 13.4 | 1052.344 | 1051.302 | 0.141014 |
| 3.5 | 1011.851 | 1010.803 | 0.035415 | 8.5 | 1031.945 | 1030.900 | 0.087715 | 13.5 | 1052.768 | 1051.726 | 0.142124 |
| 3.6 | 1012.246 | 1011.198 | 0.036441 | 8.6 | 1032.355 | 1031.309 | 0.088782 | 13.6 | 1053.192 | 1052.150 | 0.143234 |
| 3.7 | 1012.642 | 1011.593 | 0.037468 | 8.7 | 1032.764 | 1031.719 | 0.089850 | 13.7 | 1053.616 | 1052.574 | 0.144345 |
| 3.8 | 1013.037 | 1011.989 | 0.038495 | 8.8 | 1033.174 | 1032.126 | 0.090919 | 13.8 | 1054.047 | 1052.999 | 0.145458 |
| 3.9 | 1013.433 | 1012.385 | 0.039524 | 8.9 | 1033.584 | 1032.539 | 0.091989 | 13.9 | 1054.466 | 1053.424 | 0.146571 |
| 4.0 | 1013.829 | 1012.781 | 0.040553 | 9.0 | 1033.994 | 1032.949 | 0.093059 | -14.0 | 1054.891 | 1053.849 | -0.147683 |
| 4.1 | 1014.225 | 1013.177 | 0.041583 | 9.1 | 1034.405 | 1033.360 | 0.094131 | 14.1 | 1055.317 | 1054.275 | 0.148800 |
| 4.2 | 1014.622 | 1013.574 | 0.042614 | 9.2 | 1034.816 | 1033.771 | 0.095203 | 14.2 | 1055.743 | 1054.701 | 0.149915 |
| 4.3 | 1015.019 | 1013.971 | 0.043646 | 9.3 | 1035.227 | 1034.182 | 0.096276 | 14.3 | 1056.169 | 1055.127 | 0.151032 |
| 4.4 | 1015.416 | 1014.368 | 0.044678 | 9.4 | 1035.639 | 1034.594 | 0.097350 | 14.4 | 1056.596 | 1055.553 | 0.152150 |
| 4.5 | 1015.813 | 1014.765 | 0.045712 | 9.5 | 1036.051 | 1035.006 | 0.098425 | 14.5 | 1057.022 | 1055.981 | 0.153268 |
| 4.6 | 1016.211 | 1015.163 | 0.046746 | 9.6 | 1036.463 | 1035.418 | 0.099500 | 14.6 | 1057.450 | 1056.408 | 0.154388 |
| 4.7 | 1016.609 | 1015.561 | 0.047781 | 9.7 | 1036.875 | 1035.831 | 0.100577 | 14.7 | 1057.877 | 1056.835 | 0.155508 |
| 4.8 | 1017.007 | 1015.960 | 0.048816 | 9.8 | 1037.288 | 1036.243 | 0.101654 | 14.8 | 1058.305 | 1057.263 | 0.156629 |
| 4.9 | 1017.406 | 1016.359 | 0.049853 | 9.9 | 1037.701 | 1036.656 | 0.102732 | 14.9 | 1058.733 | 1057.691 | 0.157751 |

| <i>w</i> % | ρ kg/m ³ | m_w/V kg/m ³ | <i>c</i> g/cm ³ | <i>w</i> % | ρ kg/m ³ | m_w/V kg/m ³ | <i>c</i> g/cm ³ | <i>w</i> % | ρ kg/m ³ | m_w/V kg/m ³ | <i>c</i> g/cm ³ |
|---------------|-----------------------------|------------------------------|-------------------------------|---------------|-----------------------------|------------------------------|-------------------------------|---------------|-----------------------------|------------------------------|-------------------------------|
| 15.0 | 1059.161 | 1058.120 | 0.158874 | 20.0 | 1080.976 | 1079.938 | 0.216195 | 25.0 | 1103.589 | 1102.555 | 0.275897 |
| 15.1 | 1059.590 | 1058.549 | 0.159998 | 20.1 | 1081.420 | 1080.382 | 0.217365 | 25.1 | 1104.050 | 1103.015 | 0.277116 |
| 15.2 | 1060.019 | 1058.978 | 0.161123 | 20.2 | 1081.865 | 1080.827 | 0.218537 | 25.2 | 1104.511 | 1103.476 | 0.278337 |
| 15.3 | 1060.448 | 1059.407 | 0.162249 | 20.3 | 1082.310 | 1081.272 | 0.219709 | 25.3 | 1104.972 | 1103.938 | 0.279558 |
| 15.4 | 1060.878 | 1059.837 | 0.163375 | 20.4 | 1082.755 | 1081.717 | 0.220882 | 25.4 | 1105.434 | 1104.399 | 0.280780 |
| 15.5 | 1061.308 | 1060.267 | 0.164503 | 20.5 | 1083.201 | 1082.163 | 0.222056 | 25.5 | 1105.896 | 1104.861 | 0.282003 |
| 15.6 | 1061.738 | 1060.697 | 0.165631 | 20.6 | 1083.647 | 1082.609 | 0.223231 | 25.6 | 1106.358 | 1105.324 | 0.283228 |
| 15.7 | 1062.168 | 1061.127 | 0.166760 | 20.7 | 1084.093 | 1083.055 | 0.224407 | 25.7 | 1106.820 | 1105.786 | 0.284453 |
| 15.8 | 1062.599 | 1061.558 | 0.167891 | 20.8 | 1084.540 | 1083.502 | 0.225584 | 25.8 | 1107.283 | 1106.249 | 0.285679 |
| 15.9 | 1063.030 | 1061.990 | 0.169022 | 20.9 | 1084.986 | 1083.949 | 0.226762 | 25.9 | 1107.747 | 1106.713 | 0.286906 |
| 16.0 | 1063.462 | 1062.421 | 0.170154 | 21.0 | 1085.434 | 1084.396 | 0.227941 | 26.0 | 1108.210 | 1107.176 | 0.288135 |
| 16.1 | 1063.893 | 1062.853 | 0.171287 | 21.1 | 1085.881 | 1084.844 | 0.229121 | 26.1 | 1108.674 | 1107.640 | 0.289364 |
| 16.2 | 1064.325 | 1063.285 | 0.172421 | 21.2 | 1086.329 | 1085.292 | 0.230302 | 26.2 | 1109.138 | 1108.105 | 0.290594 |
| 16.3 | 1064.758 | 1063.717 | 0.173556 | 21.3 | 1086.777 | 1085.740 | 0.231484 | 26.3 | 1109.603 | 1108.569 | 0.291826 |
| 16.4 | 1065.191 | 1064.150 | 0.174691 | 21.4 | 1087.226 | 1086.189 | 0.232666 | 26.4 | 1110.068 | 1109.034 | 0.293058 |
| 16.5 | 1065.622 | 1064.583 | 0.175828 | 21.5 | 1087.675 | 1086.638 | 0.233850 | 26.5 | 1110.533 | 1109.500 | 0.294291 |
| 16.6 | 1066.057 | 1065.017 | 0.176965 | 21.6 | 1088.124 | 1087.087 | 0.235033 | 26.6 | 1110.999 | 1109.965 | 0.295526 |
| 16.7 | 1066.490 | 1065.450 | 0.178104 | 21.7 | 1088.573 | 1087.536 | 0.236220 | 26.7 | 1111.465 | 1110.431 | 0.296761 |
| 16.8 | 1066.924 | 1065.884 | 0.179243 | 21.8 | 1089.023 | 1087.986 | 0.237407 | 26.8 | 1111.931 | 1110.898 | 0.297998 |
| 16.9 | 1067.359 | 1066.319 | 0.180384 | 21.9 | 1089.473 | 1088.436 | 0.238595 | 26.9 | 1112.398 | 1111.365 | 0.299235 |
| 17.0 | 1067.793 | 1066.753 | 0.181525 | 22.0 | 1089.924 | 1088.887 | 0.239783 | 27.0 | 1112.865 | 1111.832 | 0.300473 |
| 17.1 | 1068.228 | 1067.188 | 0.182667 | 22.1 | 1090.374 | 1089.338 | 0.240973 | 27.1 | 1113.332 | 1112.299 | 0.301713 |
| 17.2 | 1068.663 | 1067.623 | 0.183810 | 22.2 | 1090.826 | 1089.789 | 0.242163 | 27.2 | 1113.800 | 1112.767 | 0.302954 |
| 17.3 | 1069.099 | 1068.059 | 0.184954 | 22.3 | 1091.277 | 1090.241 | 0.243355 | 27.3 | 1114.268 | 1113.235 | 0.304195 |
| 17.4 | 1069.535 | 1068.495 | 0.186099 | 22.4 | 1091.729 | 1090.692 | 0.244547 | 27.4 | 1114.736 | 1113.703 | 0.305138 |
| 17.5 | 1069.971 | 1068.931 | 0.187245 | 22.5 | 1092.181 | 1091.144 | 0.245741 | 27.5 | 1115.205 | 1114.172 | 0.306681 |
| 17.6 | 1070.407 | 1069.367 | 0.188392 | 22.6 | 1092.633 | 1091.597 | 0.246935 | 27.6 | 1115.674 | 1114.641 | 0.307926 |
| 17.7 | 1070.844 | 1069.804 | 0.189539 | 22.7 | 1093.086 | 1092.050 | 0.248131 | 27.7 | 1116.143 | 1115.110 | 0.309172 |
| 17.8 | 1071.281 | 1070.241 | 0.190688 | 22.8 | 1093.539 | 1092.503 | 0.249327 | 27.8 | 1116.613 | 1115.580 | 0.310418 |
| 17.9 | 1071.718 | 1070.679 | 0.191838 | 22.9 | 1093.992 | 1092.956 | 0.250522 | 27.9 | 1117.083 | 1116.050 | 0.311666 |
| 18.0 | 1072.156 | 1071.117 | 0.192988 | 23.0 | 1094.446 | 1093.410 | 0.251723 | 28.0 | 1117.553 | 1116.520 | 0.312915 |
| 18.1 | 1072.594 | 1071.555 | 0.194139 | 23.1 | 1094.931 | 1093.894 | 0.252922 | 28.1 | 1118.024 | 1116.991 | 0.314165 |
| 18.2 | 1073.032 | 1071.993 | 0.195292 | 23.2 | 1095.354 | 1094.319 | 0.254122 | 28.2 | 1118.495 | 1117.462 | 0.315415 |
| 18.3 | 1073.471 | 1072.432 | 0.196445 | 23.3 | 1095.809 | 1094.773 | 0.255324 | 28.3 | 1118.966 | 1117.934 | 0.316667 |
| 18.4 | 1073.910 | 1072.871 | 0.197596 | 23.4 | 1096.264 | 1095.228 | 0.256526 | 28.4 | 1119.438 | 1118.405 | 0.317920 |
| 18.5 | 1074.349 | 1073.310 | 0.198755 | 23.5 | 1096.720 | 1095.684 | 0.257729 | 28.5 | 1119.910 | 1118.878 | 0.319174 |
| 18.6 | 1074.789 | 1073.750 | 0.199911 | 23.6 | 1097.175 | 1096.140 | 0.258933 | 28.6 | 1120.382 | 1119.350 | 0.320429 |
| 18.7 | 1075.228 | 1074.190 | 0.201068 | 23.7 | 1097.631 | 1096.596 | 0.260139 | 28.7 | 1120.855 | 1119.823 | 0.321685 |
| 18.8 | 1075.669 | 1074.630 | 0.202226 | 23.8 | 1098.088 | 1097.052 | 0.261345 | 28.8 | 1121.328 | 1120.296 | 0.322942 |
| 18.9 | 1076.109 | 1075.070 | 0.203385 | 23.9 | 1098.544 | 1097.509 | 0.262552 | 28.9 | 1121.801 | 1120.769 | 0.324291 |
| 19.0 | 1076.550 | 1075.511 | 0.204545 | 24.0 | 1099.001 | 1097.966 | 0.263760 | 29.0 | 1122.275 | 1121.243 | 0.325460 |
| 19.1 | 1076.991 | 1075.953 | 0.205705 | 24.1 | 1099.458 | 1098.423 | 0.264969 | 29.1 | 1122.749 | 1121.717 | 0.326720 |
| 19.2 | 1077.433 | 1076.394 | 0.206867 | 24.2 | 1099.916 | 1098.881 | 0.266180 | 29.2 | 1123.223 | 1122.192 | 0.327981 |
| 19.3 | 1077.874 | 1076.836 | 0.208030 | 24.3 | 1100.374 | 1099.339 | 0.267391 | 29.3 | 1123.698 | 1122.667 | 0.329244 |
| 19.4 | 1078.317 | 1077.278 | 0.209193 | 24.4 | 1100.832 | 1099.797 | 0.268603 | 29.4 | 1124.173 | 1123.142 | 0.330507 |
| 19.5 | 1078.759 | 1077.721 | 0.210358 | 24.5 | 1101.291 | 1100.256 | 0.269816 | 29.5 | 1124.649 | 1123.617 | 0.331771 |
| 19.6 | 1079.202 | 1078.163 | 0.211524 | 24.6 | 1101.750 | 1100.715 | 0.271030 | 29.6 | 1125.125 | 1124.093 | 0.333037 |
| 19.7 | 1079.645 | 1078.607 | 0.212690 | 24.7 | 1102.209 | 1101.174 | 0.272246 | 29.7 | 1125.601 | 1124.569 | 0.334303 |
| 19.8 | 1080.088 | 1079.050 | 0.213857 | 24.8 | 1102.669 | 1101.634 | 0.273462 | 29.8 | 1126.077 | 1125.946 | 0.335571 |
| 19.9 | 1080.532 | 1079.494 | 0.215026 | 24.9 | 1103.129 | 1102.094 | 0.274679 | 29.9 | 1126.554 | 1125.523 | 0.336840 |

| w % | ρ kg/m ³ | m_w/V kg/m ³ | c g/cm ³ | w % | ρ kg/m ³ | m_w/V kg/m ³ | c g/cm ³ | w % | ρ kg/m ³ | m_w/V kg/m ³ | c g/cm ³ |
|--------|-----------------------------|------------------------------|------------------------|--------|-----------------------------|------------------------------|------------------------|--------|-----------------------------|------------------------------|------------------------|
| 45.0 | 1202.619 | 1201.599 | 0.541178 | 50.0 | 1229.656 | 1228.640 | 0.614828 | 55.0 | 1257.649 | 1256.637 | 0.691707 |
| 45.1 | 1203.150 | 1202.130 | 0.542621 | 50.1 | 1230.206 | 1229.190 | 0.616333 | 55.1 | 1258.219 | 1257.207 | 0.693279 |
| 45.2 | 1203.682 | 1202.662 | 0.540464 | 50.2 | 1230.757 | 1229.741 | 0.617840 | 55.2 | 1258.789 | 1257.778 | 0.694851 |
| 45.3 | 1204.214 | 1203.195 | 0.545509 | 50.3 | 1231.308 | 1230.293 | 0.619348 | 55.3 | 1259.359 | 1258.348 | 0.696426 |
| 45.4 | 1204.747 | 1203.727 | 0.546955 | 50.4 | 1231.860 | 1230.844 | 0.620857 | 55.4 | 1259.930 | 1258.919 | 0.698001 |
| 45.5 | 1205.280 | 1204.261 | 0.548402 | 50.5 | 1232.412 | 1231.396 | 0.622368 | 55.5 | 1260.502 | 1259.490 | 0.699578 |
| 45.6 | 1205.813 | 1204.794 | 0.549851 | 50.6 | 1232.964 | 1231.949 | 0.623880 | 55.6 | 1261.073 | 1260.062 | 0.701115 |
| 45.7 | 1206.347 | 1205.328 | 0.551301 | 50.7 | 1233.517 | 1232.502 | 0.625393 | 55.7 | 1261.645 | 1260.634 | 0.702736 |
| 45.8 | 1206.881 | 1205.862 | 0.552752 | 50.8 | 1234.070 | 1233.055 | 0.626907 | 55.8 | 1262.218 | 1261.207 | 0.704317 |
| 45.9 | 1207.416 | 1206.397 | 0.554204 | 50.9 | 1234.623 | 1233.608 | 0.628423 | 55.9 | 1262.791 | 1261.780 | 0.705900 |
| 46.0 | 1207.950 | 1206.931 | 0.555657 | 51.0 | 1235.177 | 1234.162 | 0.629940 | 56.0 | 1263.364 | 1262.353 | 0.707131 |
| 46.1 | 1208.486 | 1207.467 | 0.557112 | 51.1 | 1235.732 | 1234.717 | 0.631459 | 56.1 | 1263.937 | 1262.927 | 0.709941 |
| 46.2 | 1209.021 | 1208.003 | 0.558563 | 51.2 | 1236.286 | 1235.271 | 0.632979 | 56.2 | 1264.511 | 1263.501 | 0.710655 |
| 46.3 | 1209.557 | 1208.539 | 0.560025 | 51.3 | 1236.841 | 1235.827 | 0.634500 | 56.3 | 1265.086 | 1264.075 | 0.712343 |
| 46.4 | 1210.094 | 1209.075 | 0.561483 | 51.4 | 1237.397 | 1236.382 | 0.636022 | 56.4 | 1265.661 | 1264.650 | 0.713833 |
| 46.5 | 1210.630 | 1209.612 | 0.562943 | 51.5 | 1237.952 | 1236.938 | 0.637546 | 56.5 | 1266.236 | 1265.226 | 0.715423 |
| 46.6 | 1211.168 | 1210.149 | 0.564404 | 51.6 | 1238.509 | 1237.499 | 0.639070 | 56.6 | 1266.811 | 1265.801 | 0.717015 |
| 46.7 | 1211.705 | 1210.687 | 0.565866 | 51.7 | 1239.065 | 1238.051 | 0.640597 | 56.7 | 1267.387 | 1266.377 | 0.718609 |
| 46.8 | 1212.243 | 1211.225 | 0.567330 | 51.8 | 1239.622 | 1238.608 | 0.642124 | 56.8 | 1267.964 | 1266.954 | 0.720203 |
| 46.9 | 1212.781 | 1211.763 | 0.568794 | 51.9 | 1240.180 | 1239.165 | 0.643653 | 56.9 | 1268.540 | 1267.531 | 0.721800 |
| 47.0 | 1213.320 | 1212.302 | 0.570260 | 52.0 | 1240.737 | 1239.723 | 0.645183 | 57.0 | 1269.118 | 1268.108 | 0.723397 |
| 47.1 | 1213.859 | 1212.841 | 0.571728 | 52.1 | 1241.295 | 1240.281 | 0.646715 | 57.1 | 1269.695 | 1268.685 | 0.724996 |
| 47.2 | 1214.398 | 1213.380 | 0.573196 | 52.2 | 1241.854 | 1240.840 | 0.648248 | 57.2 | 1270.273 | 1269.263 | 0.726596 |
| 47.3 | 1214.938 | 1213.920 | 0.574666 | 52.3 | 1242.413 | 1241.399 | 0.649782 | 57.3 | 1270.851 | 1269.842 | 0.728198 |
| 47.4 | 1215.478 | 1214.460 | 0.576137 | 52.4 | 1242.972 | 1241.958 | 0.651317 | 57.4 | 1271.430 | 1270.421 | 0.729801 |
| 47.5 | 1216.019 | 1215.001 | 0.577609 | 52.5 | 1243.532 | 1242.518 | 0.652854 | 57.5 | 1272.009 | 1271.000 | 0.731405 |
| 47.6 | 1216.560 | 1215.542 | 0.579082 | 52.6 | 1244.092 | 1243.078 | 0.654392 | 57.6 | 1272.589 | 1271.579 | 0.733011 |
| 47.7 | 1217.101 | 1216.083 | 0.580557 | 52.7 | 1244.652 | 1243.639 | 0.655932 | 57.7 | 1273.168 | 1272.159 | 0.734618 |
| 47.8 | 1217.643 | 1216.625 | 0.582033 | 52.8 | 1245.215 | 1244.200 | 0.657472 | 57.8 | 1273.749 | 1272.740 | 0.736227 |
| 47.9 | 1218.185 | 1217.167 | 0.583510 | 52.9 | 1245.774 | 1244.761 | 0.659015 | 57.9 | 1274.329 | 1273.320 | 0.737837 |
| 48.0 | 1218.727 | 1217.710 | 0.584989 | 53.0 | 1246.336 | 1245.323 | 0.660558 | 58.0 | 1274.910 | 1273.901 | 0.739148 |
| 48.1 | 1219.270 | 1218.253 | 0.586469 | 53.1 | 1246.898 | 1245.885 | 0.662103 | 58.1 | 1275.492 | 1274.483 | 0.741061 |
| 48.2 | 1219.813 | 1218.796 | 0.587950 | 53.2 | 1247.460 | 1246.447 | 0.663649 | 58.2 | 1276.074 | 1275.065 | 0.742675 |
| 48.3 | 1220.357 | 1219.340 | 0.589432 | 53.3 | 1248.023 | 1247.010 | 0.665196 | 58.3 | 1276.656 | 1275.647 | 0.744290 |
| 48.4 | 1220.901 | 1219.884 | 0.590916 | 53.4 | 1248.586 | 1247.573 | 0.667645 | 58.4 | 1277.238 | 1276.230 | 0.745907 |
| 48.5 | 1221.445 | 1220.428 | 0.592401 | 53.5 | 1249.150 | 1248.137 | 0.668293 | 58.5 | 1277.821 | 1276.813 | 0.747526 |
| 48.6 | 1221.990 | 1220.973 | 0.593887 | 53.6 | 1249.713 | 1248.701 | 0.669846 | 58.6 | 1278.405 | 1277.396 | 0.749145 |
| 48.7 | 1222.535 | 1221.518 | 0.595374 | 53.7 | 1250.278 | 1249.265 | 0.671399 | 58.7 | 1278.989 | 1277.980 | 0.750766 |
| 48.8 | 1223.080 | 1222.064 | 0.596863 | 53.8 | 1250.842 | 1249.830 | 0.672953 | 58.8 | 1279.573 | 1278.565 | 0.752389 |
| 48.9 | 1223.626 | 1222.609 | 0.598353 | 53.9 | 1251.408 | 1250.395 | 0.674509 | 58.9 | 1280.157 | 1279.149 | 0.754013 |
| 49.0 | 1224.172 | 1223.156 | 0.599844 | 54.0 | 1251.973 | 1250.961 | 0.676065 | 59.0 | 1280.742 | 1279.734 | 0.755638 |
| 49.1 | 1224.719 | 1223.702 | 0.601337 | 54.1 | 1252.539 | 1251.527 | 0.677624 | 59.1 | 1281.328 | 1280.320 | 0.757265 |
| 49.2 | 1225.266 | 1224.250 | 0.602831 | 54.2 | 1253.105 | 1252.093 | 0.679183 | 59.2 | 1281.913 | 1280.905 | 0.758893 |
| 49.3 | 1225.813 | 1224.797 | 0.604326 | 54.3 | 1253.672 | 1252.660 | 0.680744 | 59.3 | 1282.499 | 1281.492 | 0.760522 |
| 49.4 | 1226.361 | 1225.345 | -0.605822 | 54.4 | 1254.239 | 1253.227 | 0.682306 | 59.4 | 1283.086 | 1282.078 | -0.762153 |
| 49.5 | 1226.909 | 1225.893 | 0.607320 | 54.5 | 1254.806 | 1253.794 | 0.683869 | 59.5 | 1283.673 | 1282.665 | 0.763785 |
| 49.6 | 1227.458 | 1226.442 | 0.608819 | 54.6 | 1255.374 | 1254.362 | 0.685434 | 59.6 | 1284.261 | 1283.253 | 0.765119 |
| 49.7 | 1228.007 | 1226.991 | 0.610319 | 54.7 | 1255.942 | 1254.930 | 0.687000 | 59.7 | 1284.848 | 1283.840 | 0.767051 |
| 49.8 | 1228.556 | 1227.540 | 0.611821 | 54.8 | 1256.511 | 1255.499 | 0.688568 | 59.8 | 1285.436 | 1284.429 | 0.768041 |
| 49.9 | 1229.106 | 1228.090 | 0.613324 | 54.9 | 1257.088 | 1256.068 | 0.690137 | 59.9 | 1286.024 | 1285.017 | 0.770329 |

Lampiran 5 Data Pengukuran Diameter Permukaan Pori Membran menggunakan ImageJ

A. Membran Nilon/TiO₂ (3gram/3%)

| No | Area | Mean | Min | Max | Angle | Length |
|----|-------|---------|--------|---------|---------|--------|
| 1 | 0.007 | 51.828 | 37.283 | 95.677 | -35.707 | 0.502 |
| 2 | 0.012 | 41.928 | 24.491 | 87.526 | -39.806 | 0.89 |
| 3 | 0.012 | 70.354 | 52.414 | 98.235 | 33.906 | 0.935 |
| 4 | 0.019 | 68.957 | 53.255 | 97.417 | 45.343 | 1.497 |
| 5 | 0.027 | 79.531 | 54.511 | 128.86 | -45.486 | 2.137 |
| 6 | 0.02 | 116.768 | 56.947 | 183.21 | -45.651 | 1.584 |
| 7 | 0.021 | 73.247 | 54.036 | 91.849 | -31.345 | 1.643 |
| 8 | 0.02 | 71.732 | 49.685 | 92.615 | -30.725 | 1.576 |
| 9 | 0.02 | 73.704 | 42.858 | 109.118 | -45.327 | 1.584 |
| 10 | 0.019 | 71.38 | 54.52 | 108.911 | 45.716 | 1.439 |
| 11 | 0.019 | 71.835 | 31.241 | 105.613 | 44.31 | 1.497 |
| 12 | 0.023 | 71.566 | 51.829 | 91.147 | 64.179 | 1.756 |
| 13 | 0.025 | 72.905 | 52.398 | 91.882 | -33.996 | 1.984 |
| 14 | 0.017 | 70.99 | 49.499 | 108.23 | 22.225 | 1.29 |
| 15 | 0.016 | 75.742 | 51.771 | 106.977 | -56.976 | 1.22 |
| 16 | 0.018 | 73.031 | 59.375 | 90.787 | 27.284 | 1.361 |
| 17 | 0.025 | 72.152 | 49.411 | 96.514 | 26.732 | 1.958 |
| 18 | 0.015 | 75.066 | 54.915 | 97.813 | 58.928 | 1.153 |
| 19 | 0.005 | 75.808 | 49.978 | 102.834 | 16.504 | 0.364 |
| 20 | 0.025 | 71.078 | 54.197 | 91.722 | 34.838 | 1.95 |
| 21 | 0.007 | 64.931 | 44.406 | 101.23 | -50.711 | 0.538 |
| 22 | 0.012 | 78.662 | 56.445 | 117.217 | -47.779 | 0.936 |
| 23 | 0.006 | 46.244 | 29.975 | 82.818 | -40.601 | 0.461 |
| 24 | 0.006 | 56.617 | 43.852 | 84.391 | -47.121 | 0.475 |
| 25 | 0.012 | 49.958 | 25.99 | 87.524 | 32.593 | 0.925 |

| | | | | | | |
|----|-------|---------|---------|---------|---------|-------|
| 26 | 0.009 | 77.798 | 57.827 | 101.026 | -50.064 | 0.707 |
| 27 | 0.009 | 70.059 | 49.283 | 122.901 | -52.696 | 0.68 |
| 28 | 0.01 | 80.669 | 53.57 | 98.211 | -47.726 | 0.767 |
| 29 | 0.021 | 74.971 | 51.936 | 98.324 | -43.741 | 1.64 |
| 30 | 0.018 | 67.578 | 48.954 | 91.849 | -55.271 | 1.37 |
| 31 | 0.016 | 78.729 | 59.053 | 101.206 | -53.591 | 1.27 |
| 32 | 0.015 | 73.29 | 51.807 | 103.072 | -46.292 | 1.195 |
| 33 | 0.002 | 61.458 | 49.589 | 83.694 | -16.699 | 0.137 |
| 34 | 0.002 | 56.387 | 33.86 | 74.738 | -14.036 | 0.158 |
| 35 | 0.003 | 56.876 | 39.621 | 83.406 | 57.095 | 0.253 |
| 36 | 0.043 | 150.112 | 114.934 | 196.333 | -95.929 | 3.333 |
| 37 | 0.011 | 141.455 | 99.792 | 201.967 | 29.745 | 0.825 |
| 38 | 0.022 | 68.915 | 52.05 | 105.946 | -78.267 | 1.704 |
| 39 | 0.019 | 73.719 | 54.865 | 103.169 | 21.073 | 1.489 |
| 40 | 0.021 | 79.906 | 61.65 | 95.45 | -81.051 | 1.645 |
| 41 | 0.005 | 56.16 | 41.315 | 88.344 | -43.603 | 0.37 |
| 42 | 0.027 | 70.837 | 43.22 | 109.183 | -73.571 | 2.078 |
| 43 | 0.025 | 71.074 | 50.061 | 96.215 | -79.928 | 1.973 |
| 44 | 0.026 | 68.264 | 48.272 | 90.01 | -46.262 | 2.054 |
| 45 | 0.019 | 66.824 | 31.077 | 111.44 | -38.581 | 1.453 |
| 46 | 0.022 | 77.89 | 37.975 | 160.555 | -42.274 | 1.709 |
| 47 | 0.01 | 66.004 | 42.029 | 101.58 | 42.207 | 0.742 |
| 48 | 0.012 | 57.574 | 40.393 | 80.783 | -44.421 | 0.895 |
| 49 | 0.025 | 76.761 | 47.386 | 100.28 | -63.263 | 1.91 |
| 50 | 0.026 | 76.336 | 56.429 | 95.057 | -61.504 | 2.032 |
| 51 | 0.018 | 76.642 | 61.199 | 94.628 | 20.376 | 1.426 |
| 52 | 0.023 | 73.459 | 56.973 | 92.796 | -48.434 | 1.806 |
| 53 | 0.018 | 71.276 | 52.17 | 90.165 | 37.185 | 1.398 |

| | | | | | | |
|-----------|-------|---------|--------|---------|---------|-------|
| 54 | 0.021 | 72.254 | 56.107 | 88.566 | -26.768 | 1.608 |
| 55 | 0.019 | 63.363 | 46.377 | 80.66 | 37.073 | 1.445 |
| 56 | 0.021 | 75.645 | 53.876 | 100.603 | -36.69 | 1.617 |
| 57 | 0.019 | 69.515 | 54.404 | 100.013 | 38.351 | 1.479 |
| 58 | 0.018 | 69.505 | 50.541 | 92.876 | -90 | 1.435 |
| 59 | 0.019 | 75.599 | 56.884 | 106.508 | -33.83 | 1.447 |
| 60 | 0.012 | 87.354 | 64.041 | 115.848 | 44.433 | 0.919 |
| 61 | 0.031 | 65.83 | 34.275 | 98.218 | -45.216 | 2.393 |
| 62 | 0.026 | 74.377 | 51.728 | 101.798 | -44.479 | 1.985 |
| 63 | 0.014 | 109.826 | 44.567 | 208.3 | 34.061 | 1.099 |
| 64 | 0.019 | 64.093 | 45.867 | 90.733 | 38.897 | 1.442 |
| 65 | 0.022 | 70.948 | 51.263 | 100.035 | 40.083 | 1.693 |
| 66 | 0.019 | 70.097 | 47.621 | 105.542 | -47.827 | 1.469 |
| 67 | 0.031 | 72.128 | 52.848 | 90.593 | -63.163 | 2.399 |
| 68 | 0.015 | 68.374 | 49.27 | 96.468 | -55.784 | 1.168 |
| 69 | 0.02 | 69.068 | 51.589 | 97.269 | -46.998 | 1.556 |
| 70 | 0.023 | 71.442 | 49.467 | 94.06 | 32.221 | 1.795 |
| 71 | 0.017 | 63.238 | 41.366 | 90.463 | 44.599 | 1.29 |
| 72 | 0.02 | 71.052 | 49.024 | 103.423 | 39.987 | 1.549 |
| 73 | 0.019 | 69.425 | 50.647 | 94.845 | 36.363 | 1.438 |
| 74 | 0.024 | 66.798 | 48.894 | 87.748 | 35.998 | 1.853 |
| 75 | 0.017 | 73.592 | 57.351 | 97.765 | -43.052 | 1.324 |
| 76 | 0.019 | 66.776 | 45.809 | 92.259 | -31.64 | 1.484 |
| 77 | 0.018 | 64.897 | 41.503 | 87.197 | 38.333 | 1.398 |
| 78 | 0.014 | 67.316 | 50.269 | 87.519 | -63.138 | 1.102 |
| 79 | 0.012 | 65.742 | 46.636 | 86.588 | 64.799 | 0.963 |
| 80 | 0.015 | 66.743 | 48.929 | 98.294 | -1.888 | 1.17 |
| Rata-Rata | | | | | | 1.36 |

B. Membran Nilon/TiO₂ (3gram/5%)

| No | Area | Mean | Min | Max | Angle | Length |
|----|-------|---------|--------|---------|---------|--------|
| 1 | 0.024 | 95.123 | 59.975 | 136.713 | 46.606 | 1.892 |
| 2 | 0.017 | 91.678 | 58.104 | 139.867 | 37.694 | 1.39 |
| 3 | 0.029 | 99.911 | 64.805 | 144.041 | 31.283 | 2.311 |
| 4 | 0.017 | 108.833 | 64.66 | 147.023 | 18.104 | 1.368 |
| 5 | 0.025 | 101.861 | 71.287 | 161.92 | 20.225 | 2.025 |
| 6 | 0.062 | 98.216 | 49.545 | 147.055 | -51.923 | 4.986 |
| 7 | 0.02 | 109.503 | 66.281 | 157.094 | -34.186 | 1.602 |
| 8 | 0.045 | 104.543 | 67.363 | 185.091 | -10.376 | 3.609 |
| 9 | 0.019 | 102.311 | 66.971 | 148.563 | 28.301 | 1.476 |
| 10 | 0.021 | 97.605 | 70.514 | 141.794 | -51.605 | 1.691 |
| 11 | 0.02 | 102.907 | 58.754 | 140.527 | -44.37 | 1.609 |
| 12 | 0.016 | 103.115 | 65.118 | 144.933 | 31.159 | 1.256 |
| 13 | 0.025 | 104.695 | 68.484 | 155 | 32.905 | 2.025 |
| 14 | 0.014 | 107.402 | 73.877 | 159.04 | 38.66 | 1.12 |
| 15 | 0.029 | 104.11 | 56 | 142.883 | 34.38 | 2.302 |
| 16 | 0.015 | 106.558 | 76.648 | 138.577 | 37.349 | 1.195 |
| 17 | 0.015 | 113.733 | 70.77 | 177.584 | -39.958 | 1.207 |
| 18 | 0.021 | 105.08 | 64 | 158.55 | -43.152 | 1.645 |
| 19 | 0.013 | 96.413 | 61.914 | 137.398 | 26.565 | 1.062 |
| 20 | 0.014 | 96.612 | 60.358 | 132.434 | 33.69 | 1.082 |
| 21 | 0.039 | 92 | 55.404 | 148.974 | -45.982 | 3.094 |
| 22 | 0.029 | 97.037 | 60.116 | 169.257 | -35.754 | 2.31 |
| 23 | 0.023 | 105.296 | 69.327 | 175.51 | 41.698 | 1.841 |
| 24 | 0.009 | 94.532 | 68.061 | 135.27 | -21.038 | 0.696 |
| 25 | 0.011 | 99.449 | 59.29 | 139 | -39.401 | 0.906 |
| 26 | 0.024 | 93.752 | 43.504 | 151.371 | 12.2 | 1.893 |

| | | | | | | |
|----|-------|---------|--------|---------|---------|-------|
| 27 | 0.006 | 91.347 | 49.12 | 159 | 36.87 | 0.5 |
| 28 | 0.026 | 98.766 | 58.777 | 151.226 | 39.536 | 2.042 |
| 29 | 0.015 | 82.731 | 54.604 | 130 | 46.685 | 1.203 |
| 30 | 0.019 | 97.445 | 62.731 | 135.751 | 34.992 | 1.526 |
| 31 | 0.019 | 96.992 | 54.345 | 146.527 | -24.057 | 1.533 |
| 32 | 0.027 | 93.364 | 56.414 | 141.559 | 31.304 | 2.165 |
| 33 | 0.02 | 100.814 | 68.594 | 141.245 | 34.186 | 1.602 |
| 34 | 0.015 | 105.644 | 67.16 | 195.472 | 22.714 | 1.165 |
| 35 | 0.037 | 92.18 | 54.021 | 157.68 | -54.968 | 2.961 |
| 36 | 0.027 | 96.395 | 63.991 | 155.132 | -47.816 | 2.159 |
| 37 | 0.019 | 86.527 | 46.301 | 127 | 26.131 | 1.476 |
| 38 | 0.02 | 118.331 | 71 | 171.125 | -38.66 | 1.601 |
| 39 | 0.023 | 100.424 | 62.975 | 135.038 | 26.211 | 1.811 |
| 40 | 0.015 | 98.948 | 50.25 | 142.536 | -35.676 | 1.2 |
| 41 | 0.022 | 94.308 | 50 | 130.58 | 29.445 | 1.78 |
| 42 | 0.014 | 105.633 | 66.825 | 146.507 | 13.392 | 1.079 |
| 43 | 0.013 | 101.047 | 62 | 132.68 | -17.526 | 0.996 |
| 44 | 0.019 | 104.571 | 69.176 | 136.157 | -30.801 | 1.513 |
| 45 | 0.013 | 104.777 | 63.949 | 135.874 | 8.13 | 1.061 |
| 46 | 0.013 | 106.253 | 50 | 157 | 0 | 1.025 |
| 47 | 0.022 | 95.066 | 60.391 | 195 | -0.83 | 1.725 |
| 48 | 0.011 | 113.064 | 65 | 230 | -1.591 | 0.9 |
| 49 | 0.02 | 109.341 | 57 | 168.048 | -2.726 | 1.577 |
| 50 | 0.013 | 116.001 | 41.48 | 251.58 | -64.722 | 0.995 |
| 51 | 0.025 | 97.535 | 48.25 | 144 | 4.289 | 2.006 |
| 52 | 0.015 | 91.027 | 54.061 | 139.918 | 3.504 | 1.227 |
| 53 | 0.025 | 94.237 | 58.506 | 135.79 | 3.532 | 2.029 |
| 54 | 0.021 | 116.942 | 75.815 | 178.711 | 25.017 | 1.655 |

| | | | | | | |
|-----------|-------|---------|--------|---------|---------|-------|
| 55 | 0.031 | 104.193 | 60.787 | 185.595 | 49.525 | 2.465 |
| 56 | 0.022 | 99.992 | 68.139 | 145.547 | -16.621 | 1.748 |
| 57 | 0.034 | 99.042 | 50.584 | 159.966 | 37.828 | 2.69 |
| 58 | 0.014 | 104.42 | 77.024 | 161.786 | 10.784 | 1.069 |
| 59 | 0.018 | 103.027 | 66.068 | 135.736 | 40.815 | 1.453 |
| 60 | 0.026 | 100.218 | 67.562 | 151.625 | -45 | 2.086 |
| 61 | 0.014 | 107.966 | 59 | 180 | 0 | 1.075 |
| 62 | 0.011 | 79.583 | 41.019 | 148.786 | 14.826 | 0.879 |
| 63 | 0.016 | 97.258 | 63.34 | 133.708 | 26.565 | 1.286 |
| 64 | 0.023 | 100.628 | 52.986 | 155.546 | -37.666 | 1.8 |
| 65 | 0.026 | 104.398 | 57.541 | 153 | -40.156 | 2.093 |
| 66 | 0.013 | 93.901 | 61.005 | 128.102 | 37.147 | 1.035 |
| 67 | 0.022 | 99.955 | 50.557 | 154.085 | -14.826 | 1.758 |
| 68 | 0.041 | 95.523 | 47.315 | 144 | -50.307 | 3.249 |
| 69 | 0.034 | 98.149 | 64.794 | 142.632 | -44.63 | 2.74 |
| 70 | 0.022 | 113.492 | 75.48 | 162.367 | -49.574 | 1.773 |
| 71 | 0.036 | 99.148 | 61.953 | 153.713 | 21.146 | 2.841 |
| 72 | 0.018 | 103.899 | 71.418 | 151.587 | -55.176 | 1.401 |
| 73 | 0.019 | 99.448 | 62.887 | 145.127 | 22.329 | 1.513 |
| 74 | 0.015 | 97.116 | 59.5 | 141.375 | -54.324 | 1.2 |
| 75 | 0.015 | 107.761 | 55 | 159.927 | 28.142 | 1.219 |
| 76 | 0.024 | 96.928 | 60.299 | 139.235 | -33.056 | 1.879 |
| 77 | 0.045 | 94.577 | 52.08 | 137.449 | -40.732 | 3.563 |
| 78 | 0.011 | 91.84 | 53.486 | 131.346 | 46.123 | 0.902 |
| 79 | 0.023 | 102.049 | 69.15 | 145 | 27.613 | 1.834 |
| 80 | 0.012 | 96.285 | 65.955 | 135.431 | 22.38 | 0.919 |
| Rata-Rata | | | | | | 1.707 |

Lampiran 6 Dokumentasi



Alat Pembuatan Membran



Nilon



TiO_2



Membran Nilon



Membran Nylon/TiO₂



Reaktor Membran Cross-Flow



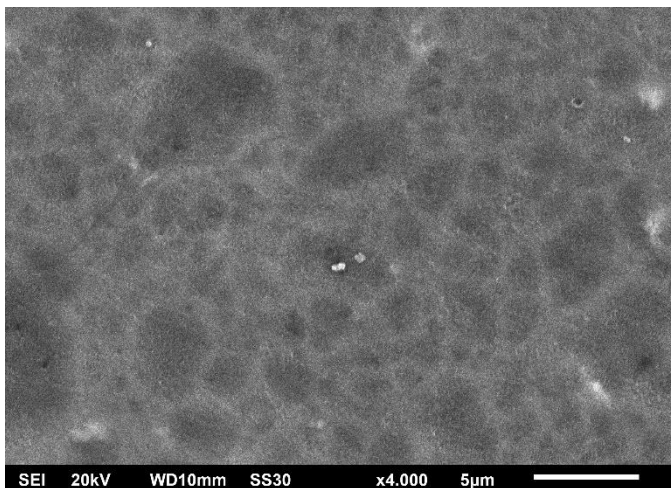
Reaktor Membran Cross-Flow



Instrumen *Scanning Electron Microscope* (SEM)
(*SEM-EDX JEOL JSM-6510LA*)

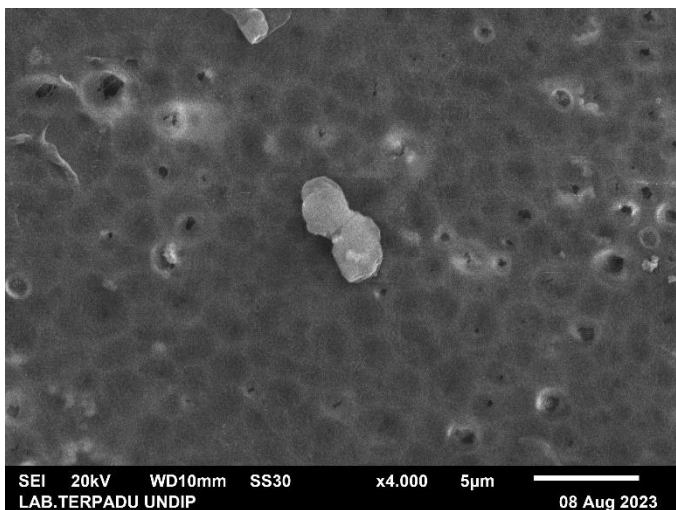


Fourier Transform – Infra Red (FT-IR)
(Perkin-Elmer UATR Spectrum Two)



SEI 20kV WD10mm SS30 x4.000 5µm 08 Aug 2023
LAB.TERPADU UNDIP

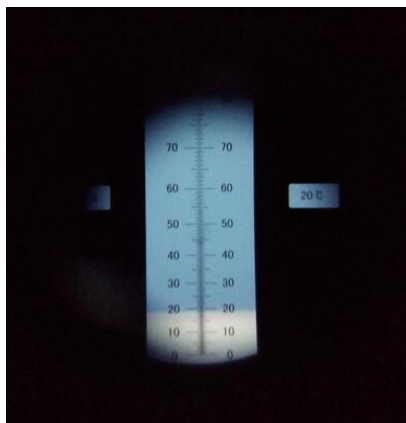
SEM Membran Nilon/TiO₂-3%



SEM Membran Nilon/TiO₂-5%



Hand Refraktometer



Derajat Brix sebelum
Dekolorisasi



Derajat Brix setelah
Dekolorisasi



Spektrofotometer UV-Vis



pH Sari Tebu sebelum
Dekolorisasi



pH Sari Tebu setelah
Dekolorisasi



Nira Tebu Sebelum Dekolorisasi



Membran Nilon (3 gram/0%)



Membran Nilon (3 gram/1%)



Membran Nilon (3 gram/3%)



Membran Nilon (3 gram/5%)

Nira Tebu Setelah Dekolorisasi

RIWAYAT HIDUP

A. Identitas Diri

Nama : Indah Rifdah Huwaiddah
NIM : 1908036029
Tempat, Tanggal Lahir : Tangerang, 12 Februari 2001
Alamat Rumah : Jl. Pala Raya 68, Pondok Cabe
Udik, Tangerang Selatan
No.HP : 083813899862
E-mail : indah.rifdahh@gmail.com

B. Riwayat Pendidikan

- a. SDN Mekar Mukti 01 Cikarang Utara
- b. MTsN 3 Jakarta
- c. MA Khazanah Kebajikan Pamulang
- d. UIN Walisongo Semarang